

FIG. 1

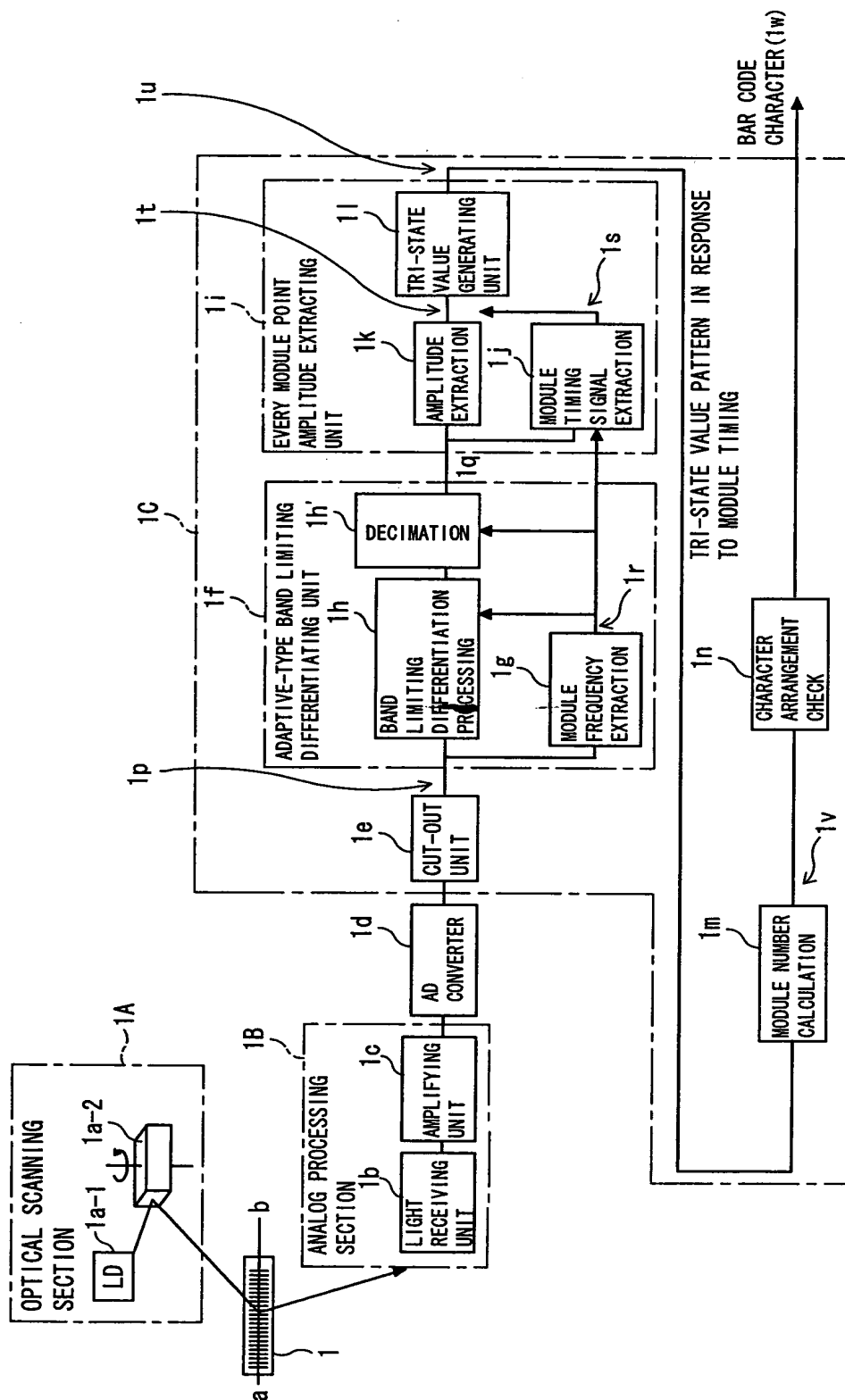


FIG. 2

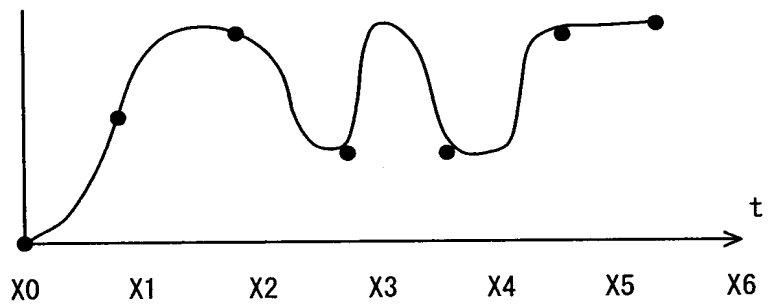


FIG. 3

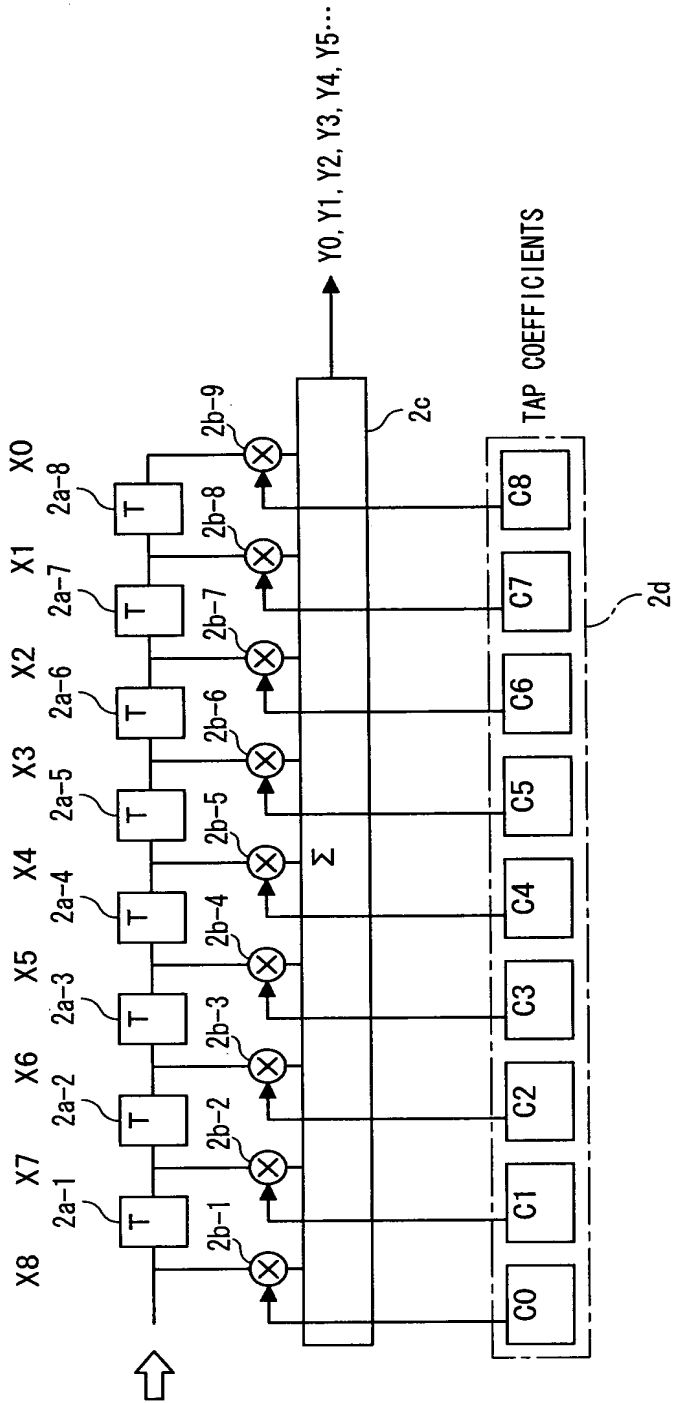


FIG. 4(a)

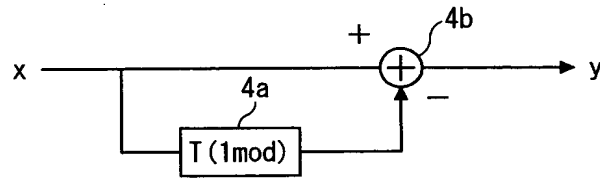


FIG. 4(b)

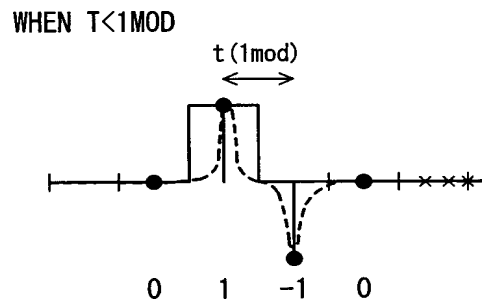


FIG. 4(c)

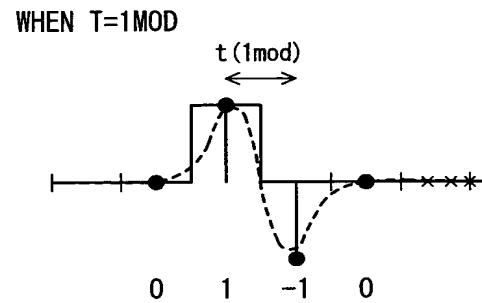


FIG. 4(d)

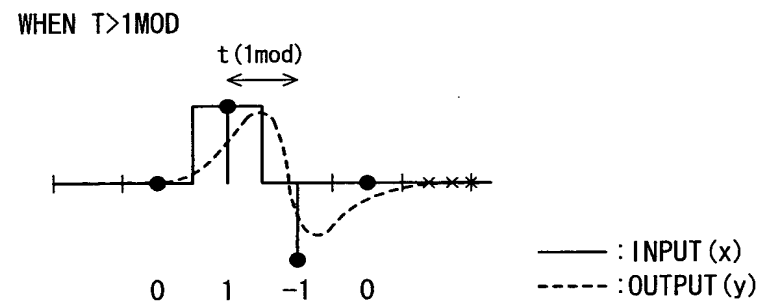


FIG. 5

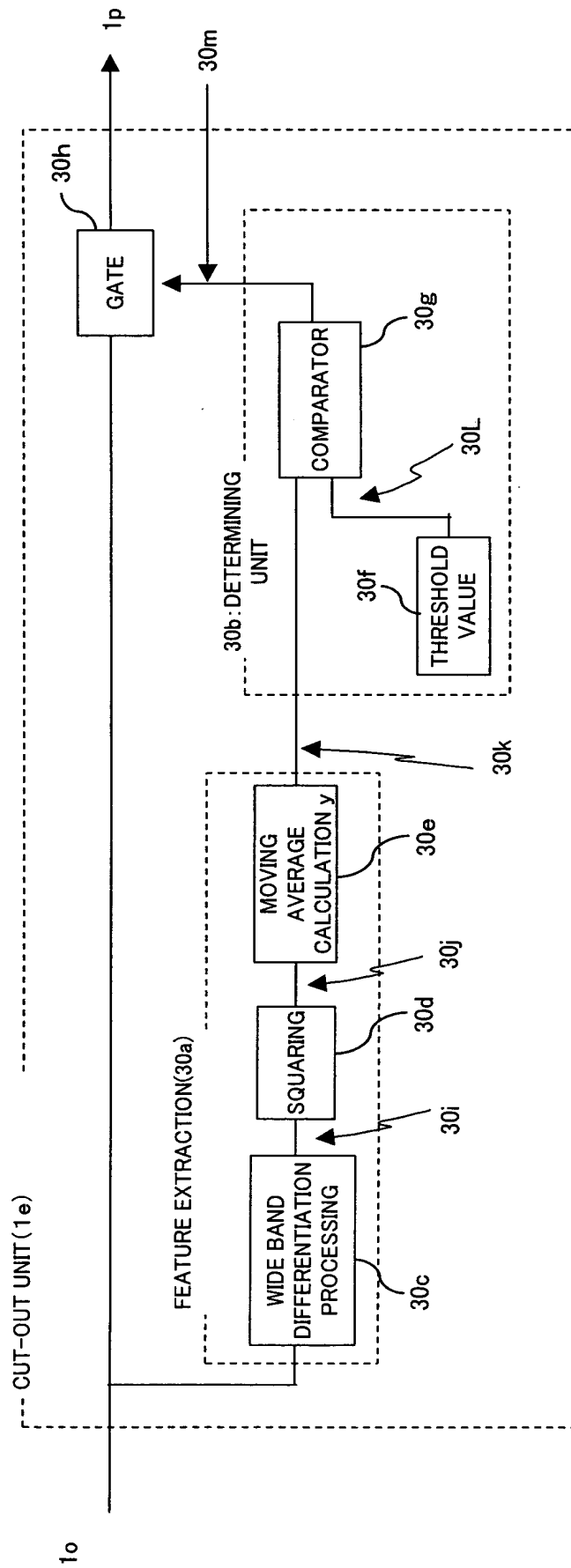


FIG. 6(a)

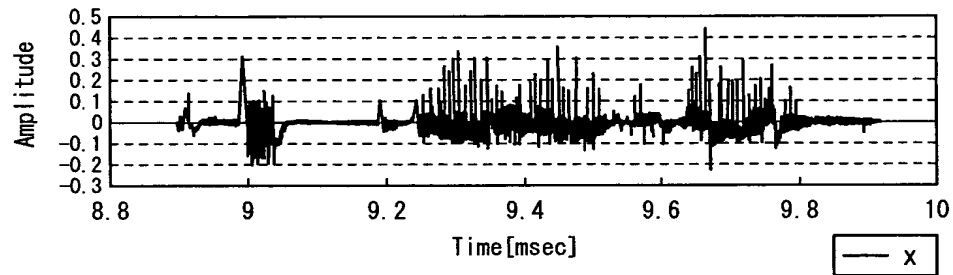


FIG. 6(b)

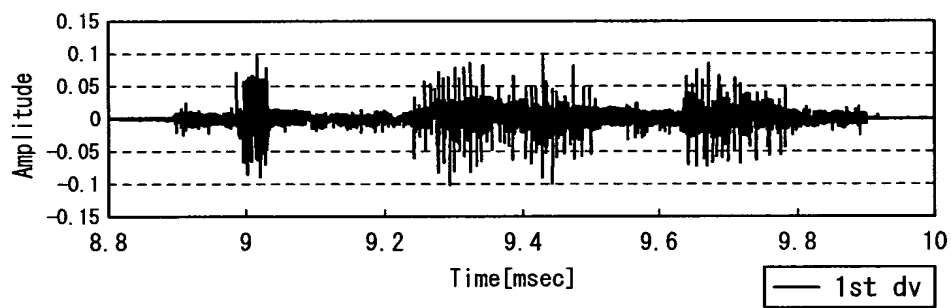


FIG. 6(c)

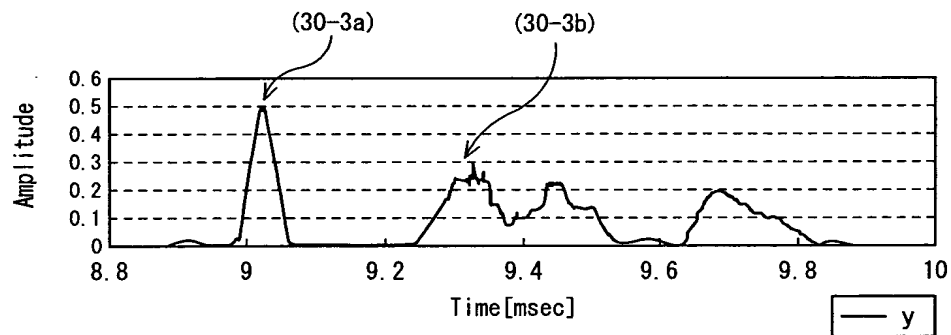


FIG. 7

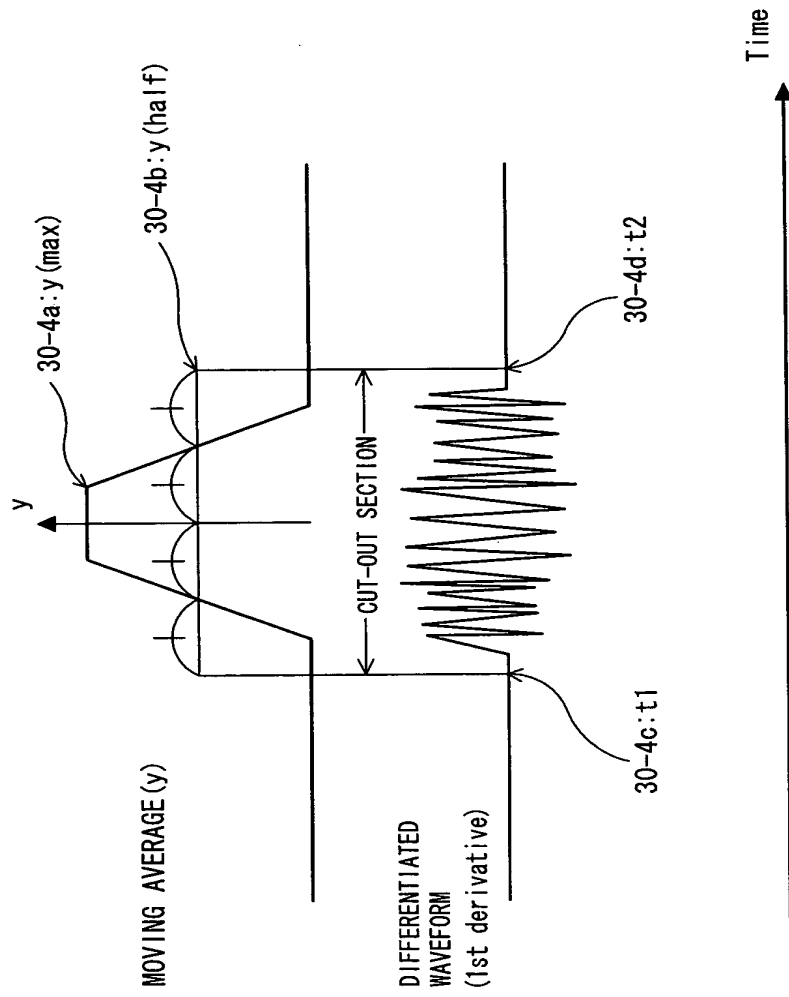


FIG. 8

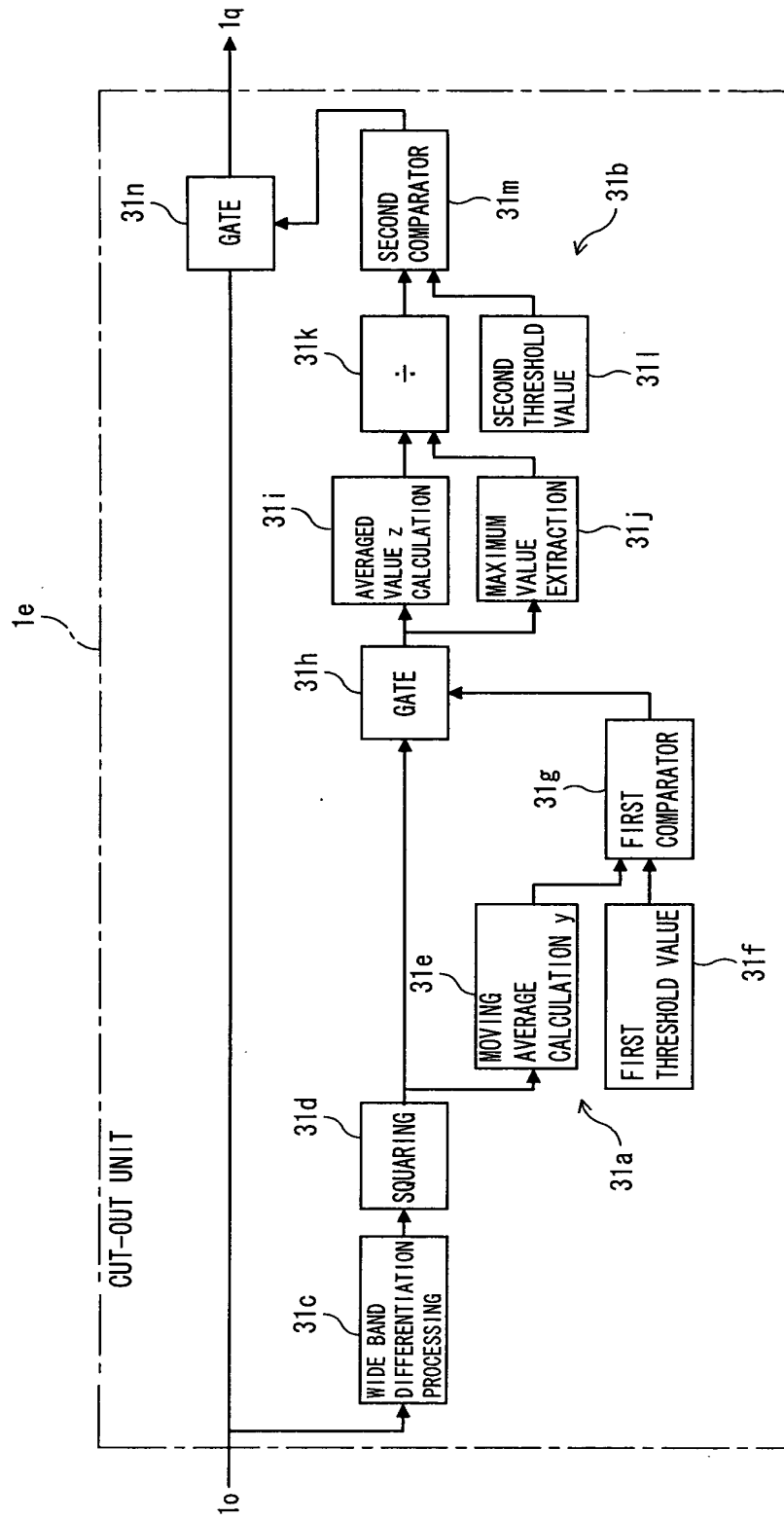


FIG. 9(a)

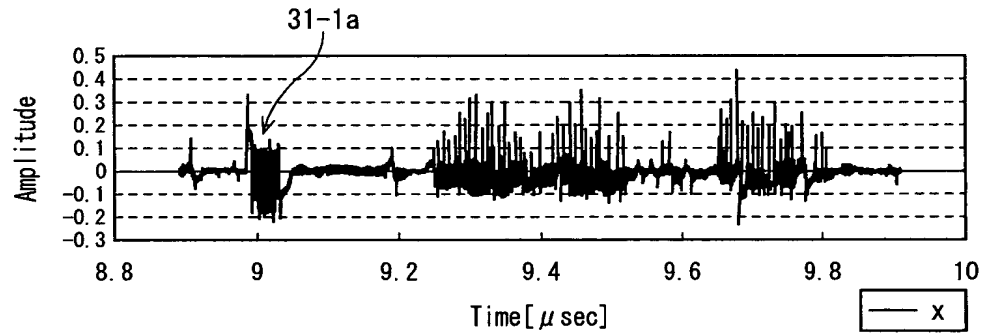


FIG. 9(b)

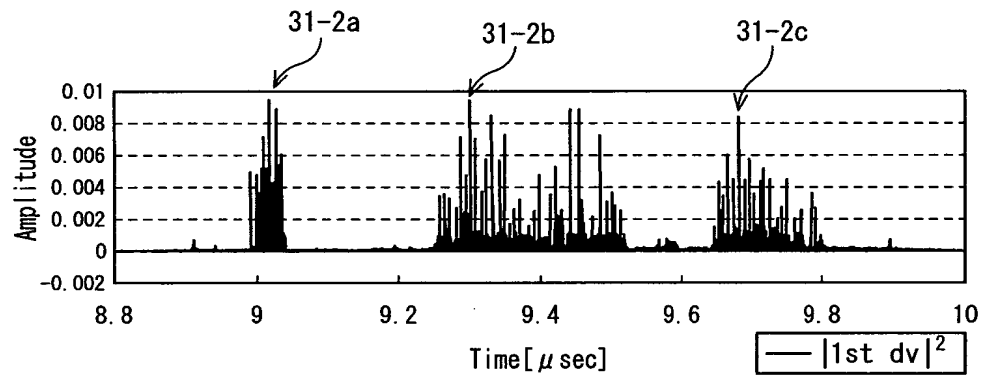


FIG. 9(c)

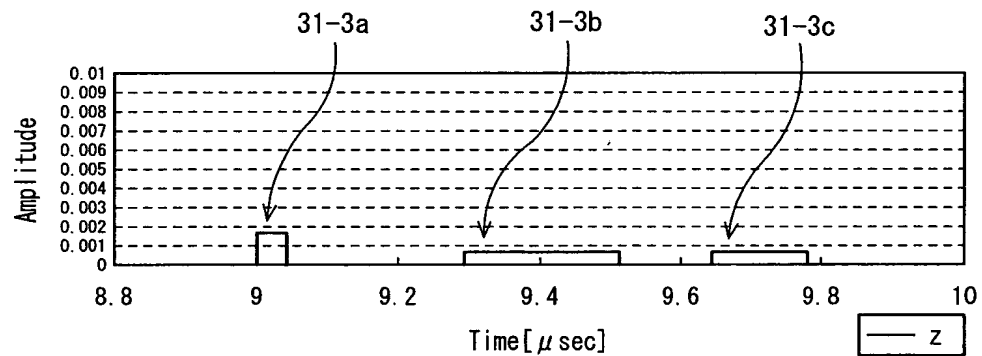
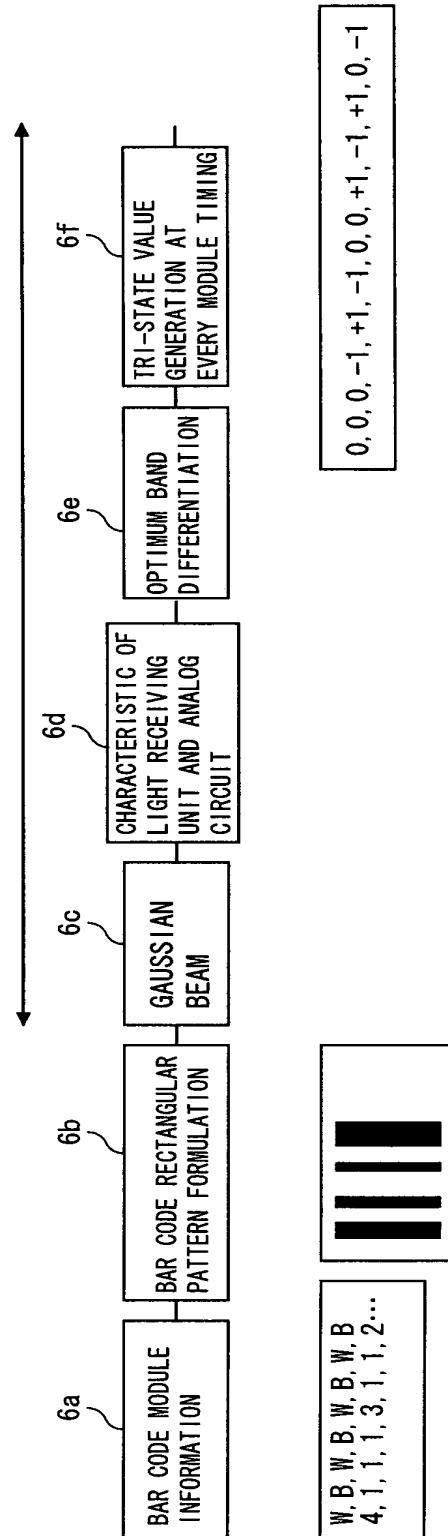


FIG. 10



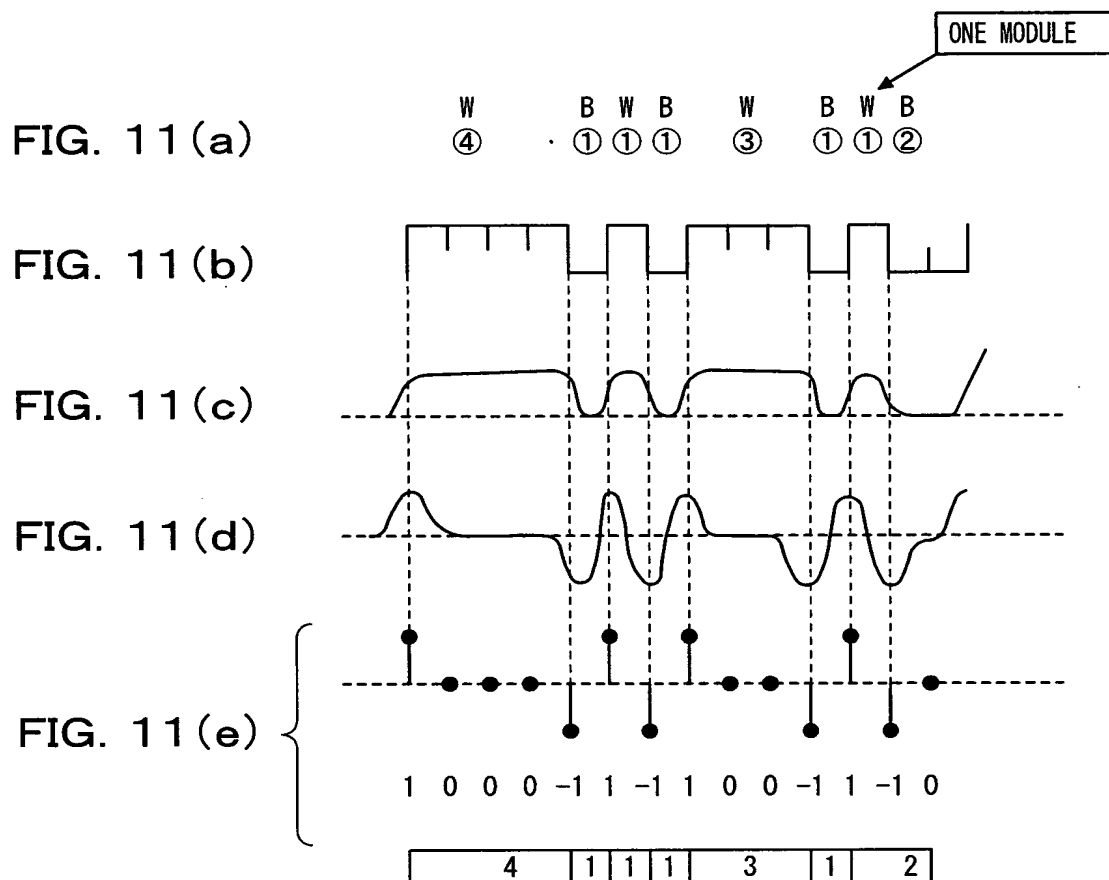


FIG. 12

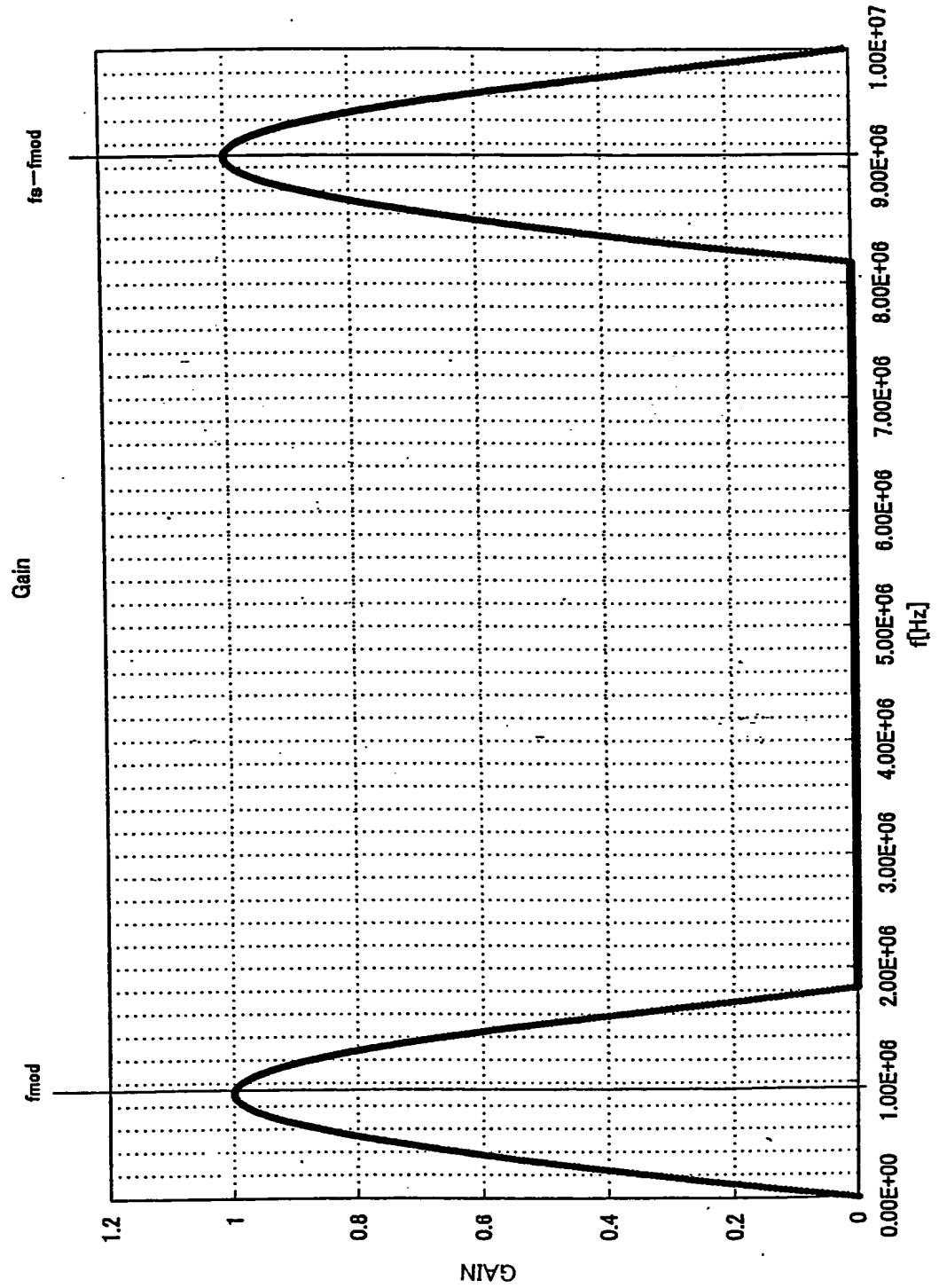


FIG. 13

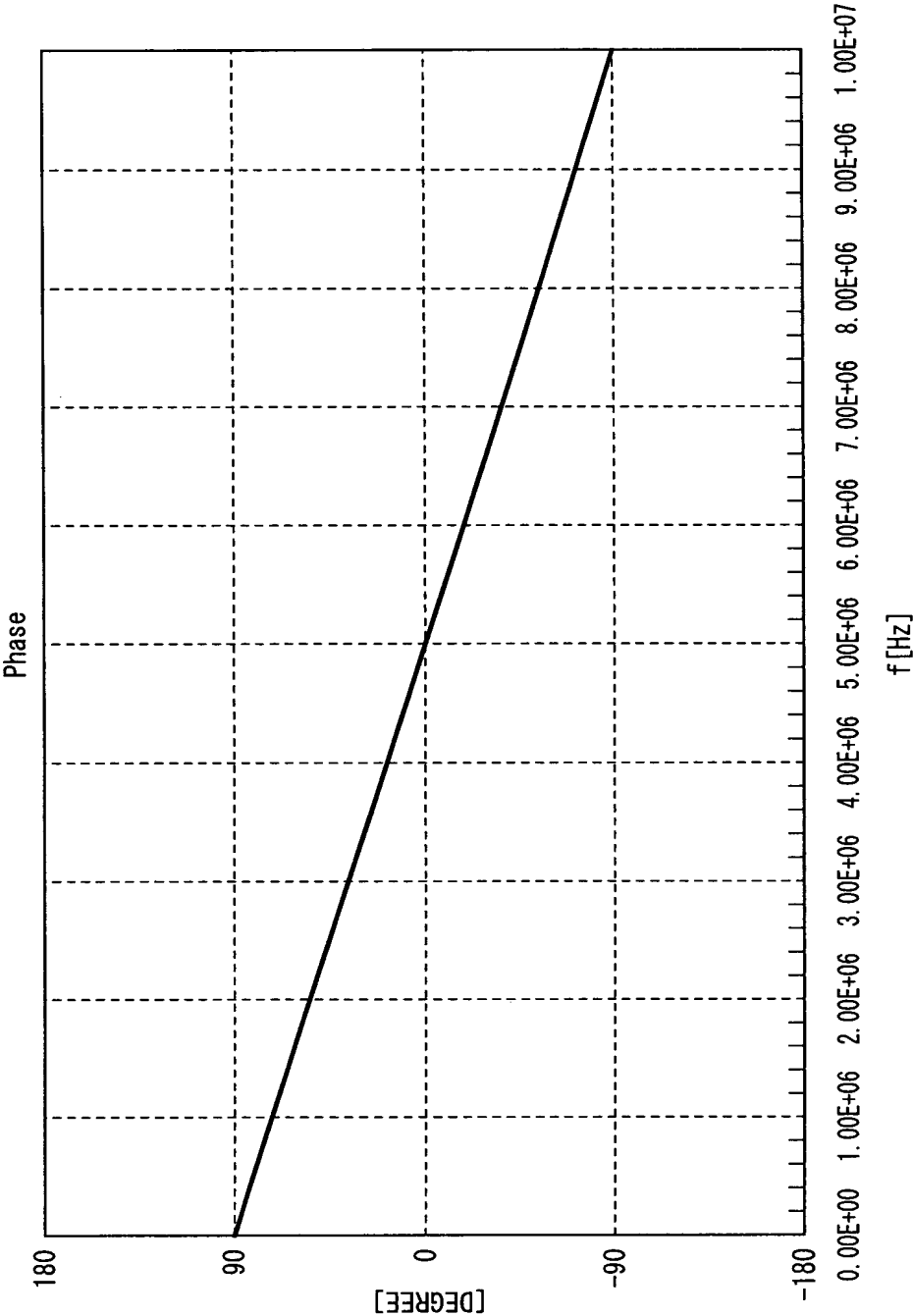


FIG. 14

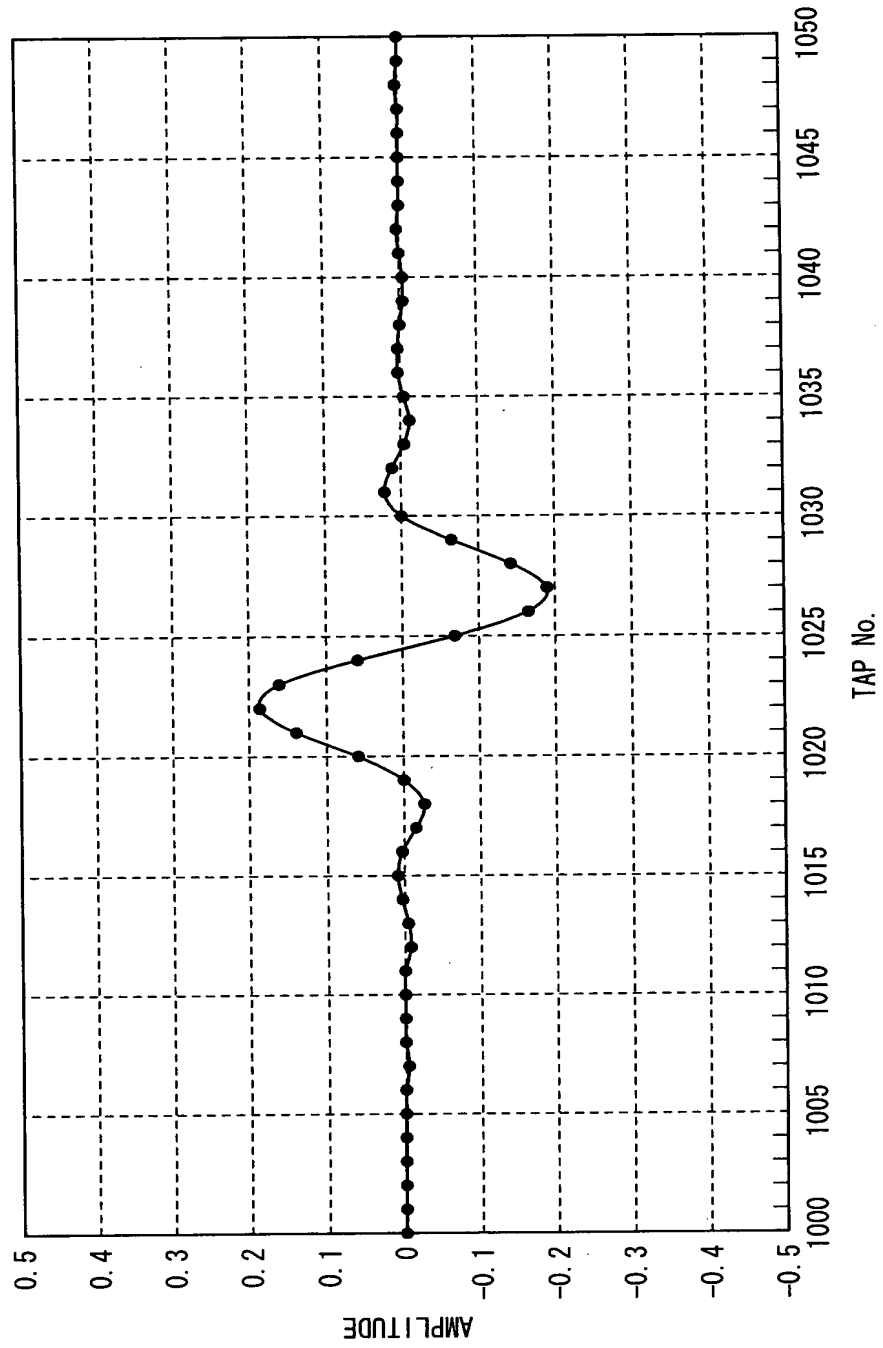


FIG. 15

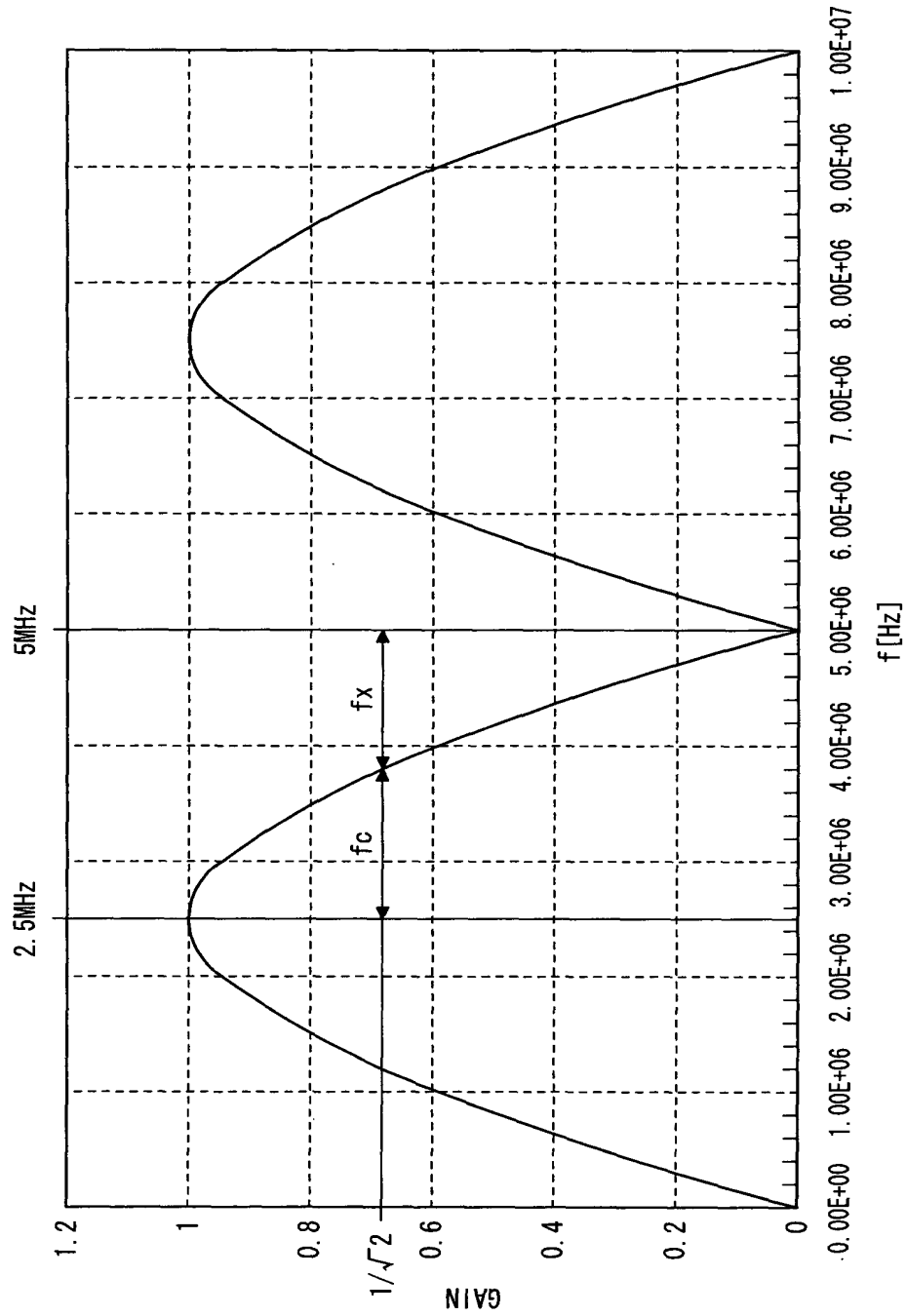


FIG. 16

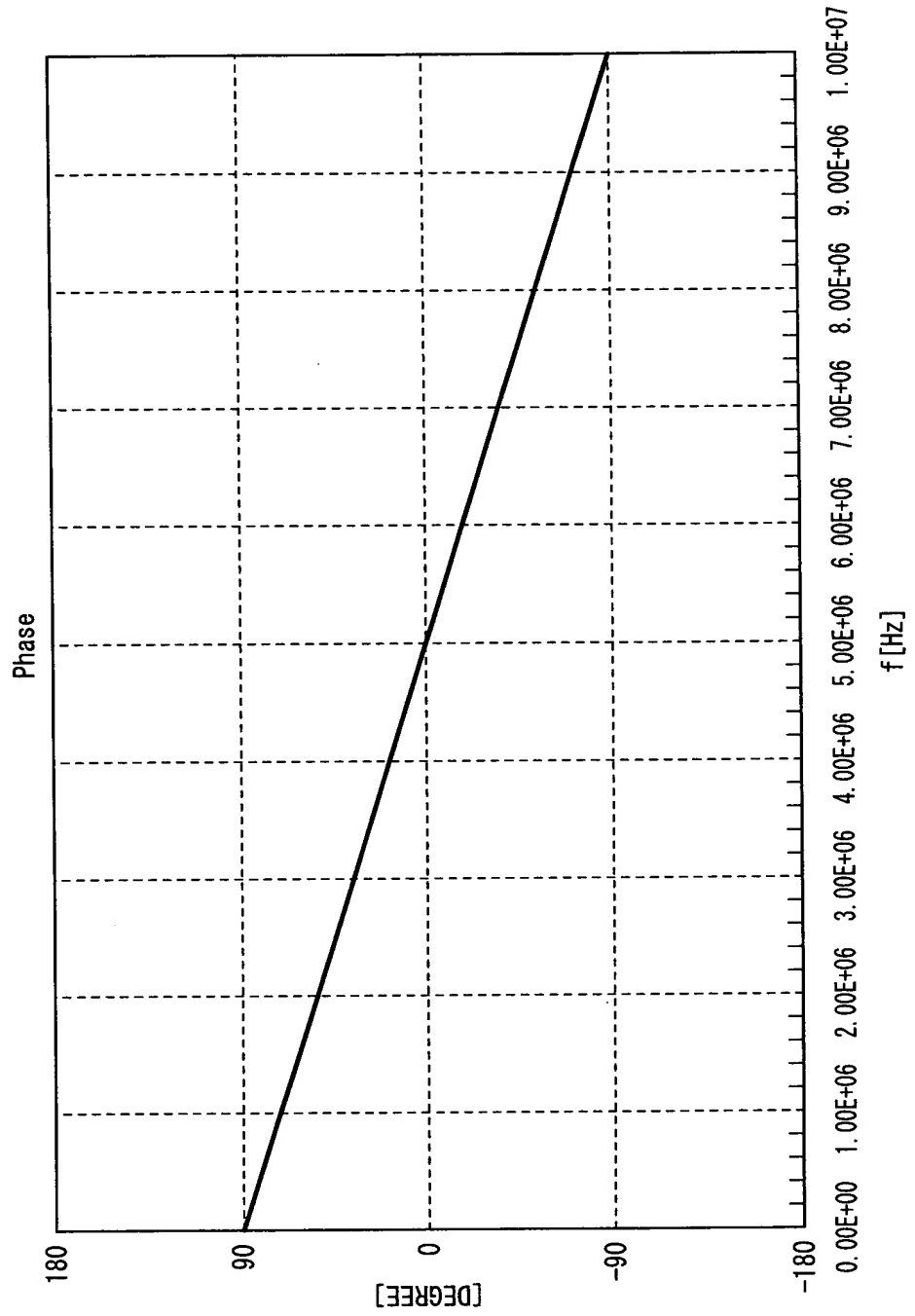


FIG. 17

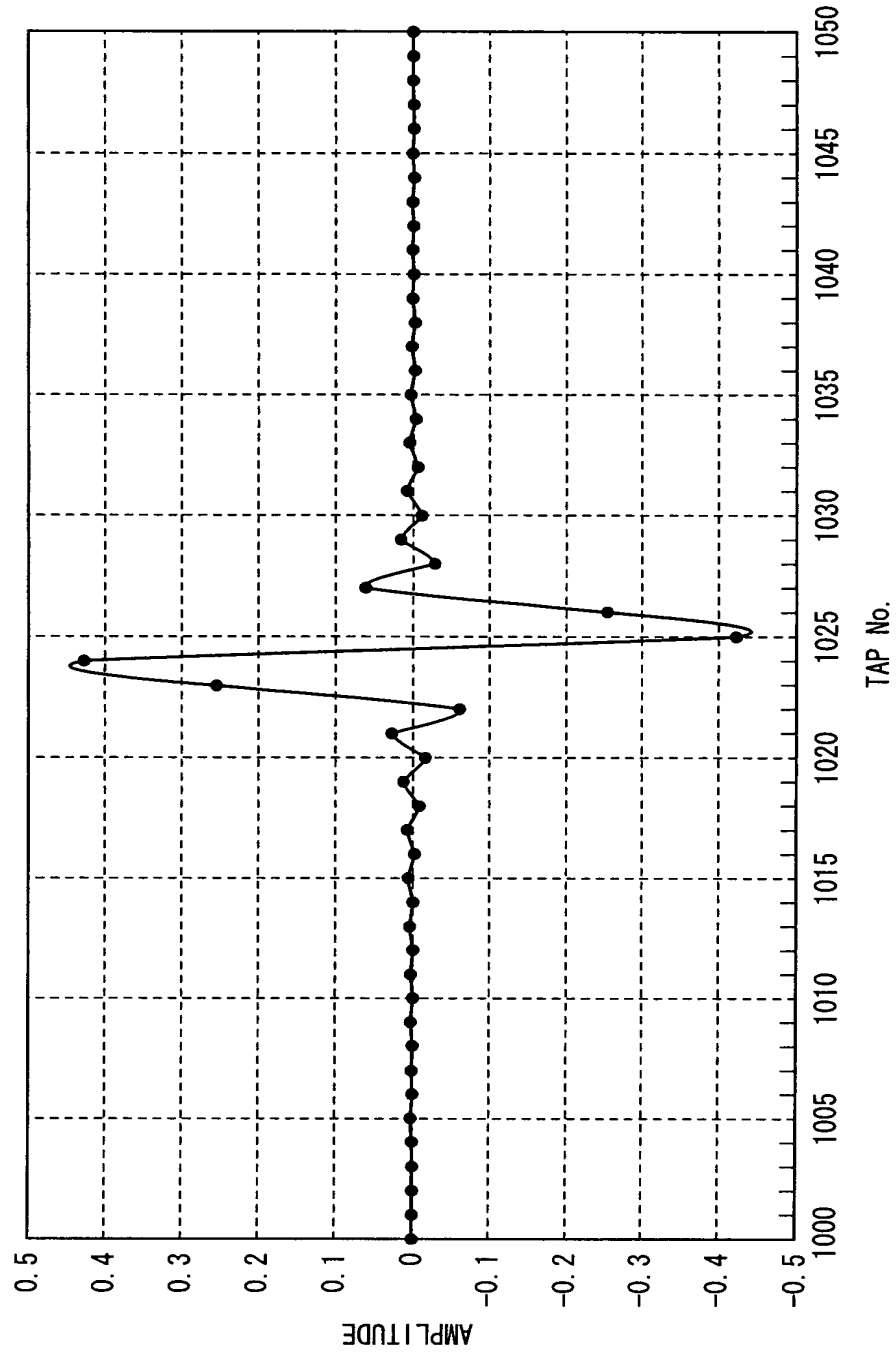


FIG. 18

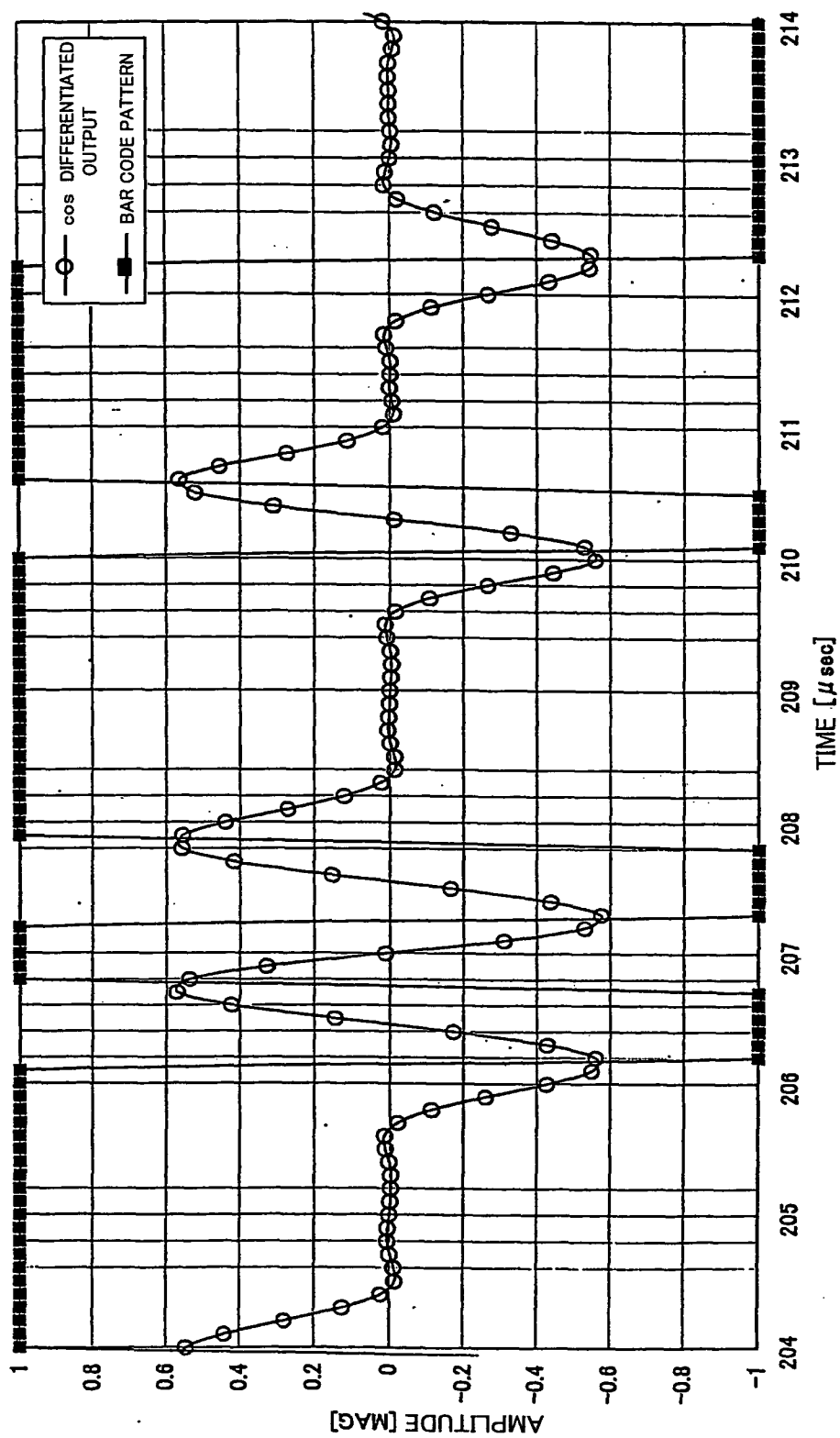


FIG. 19

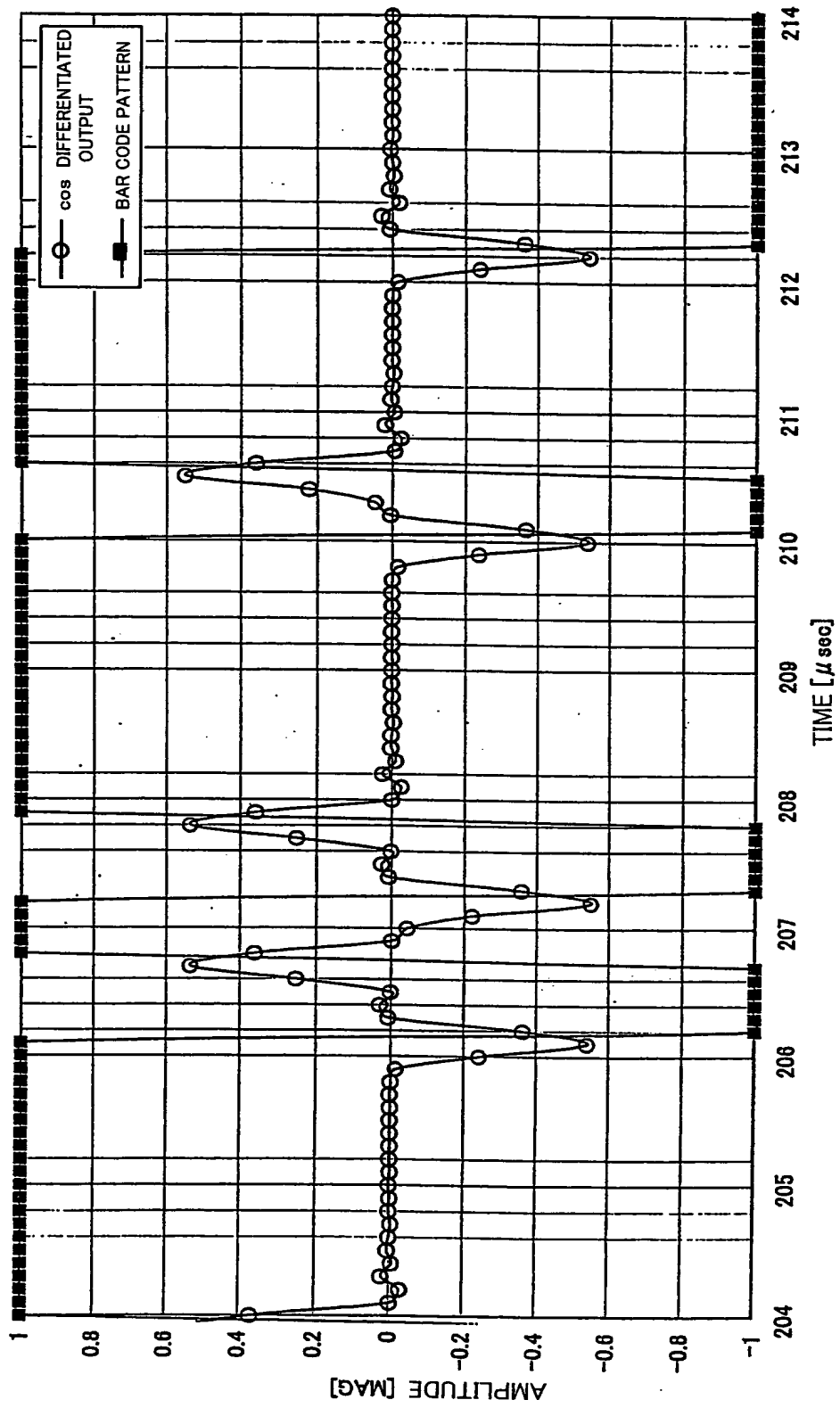


FIG. 20

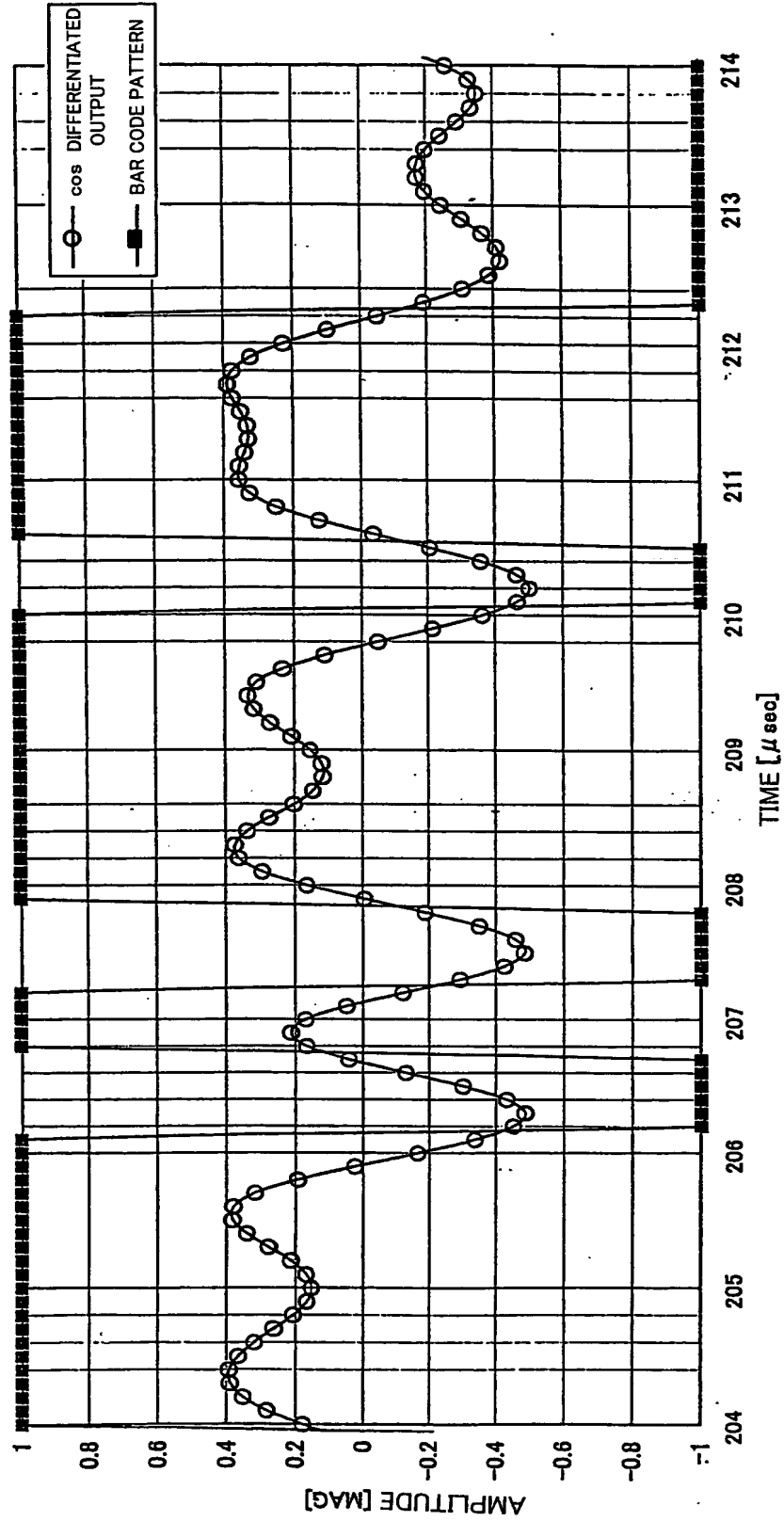


FIG. 21

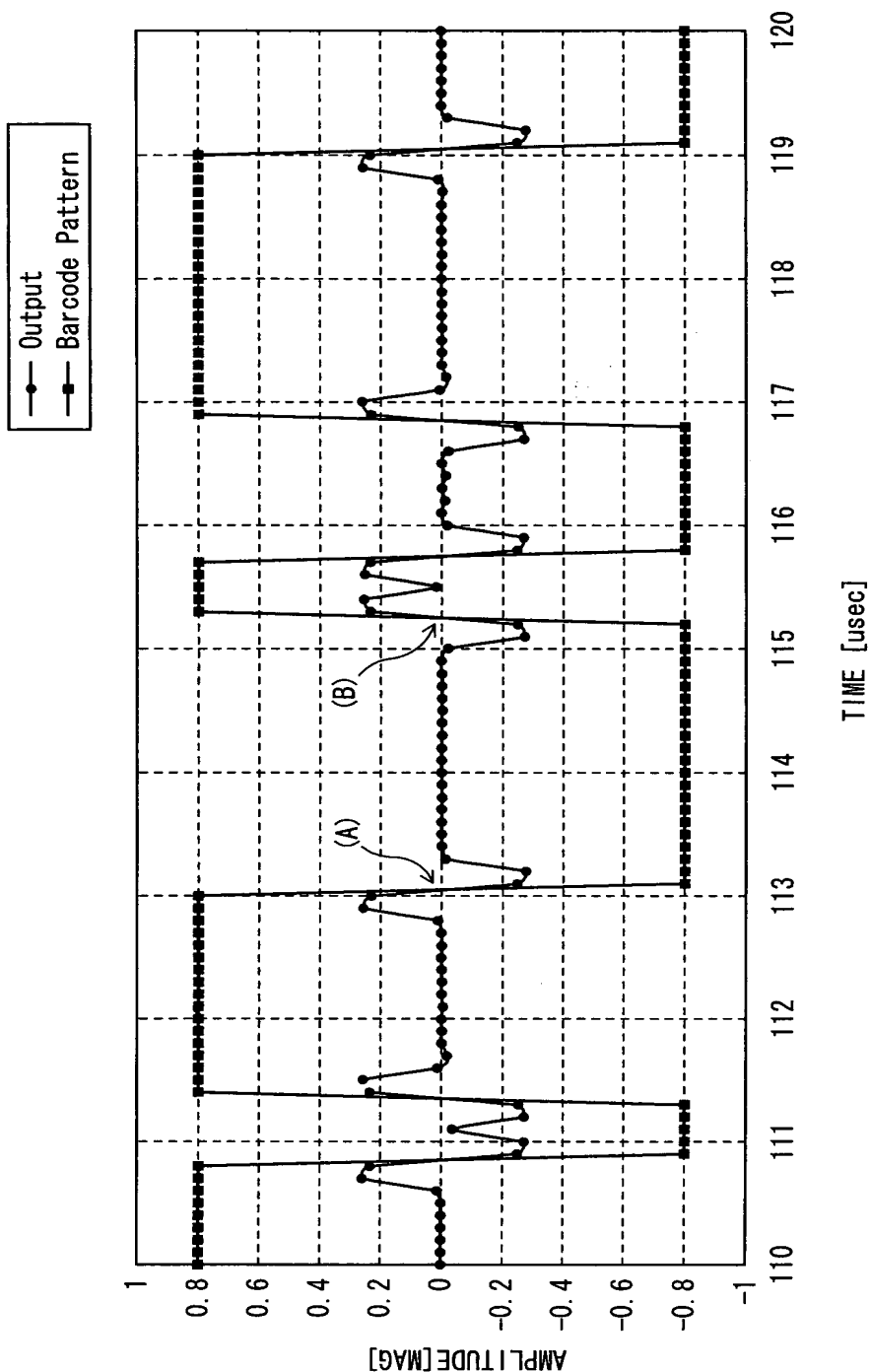


FIG. 22

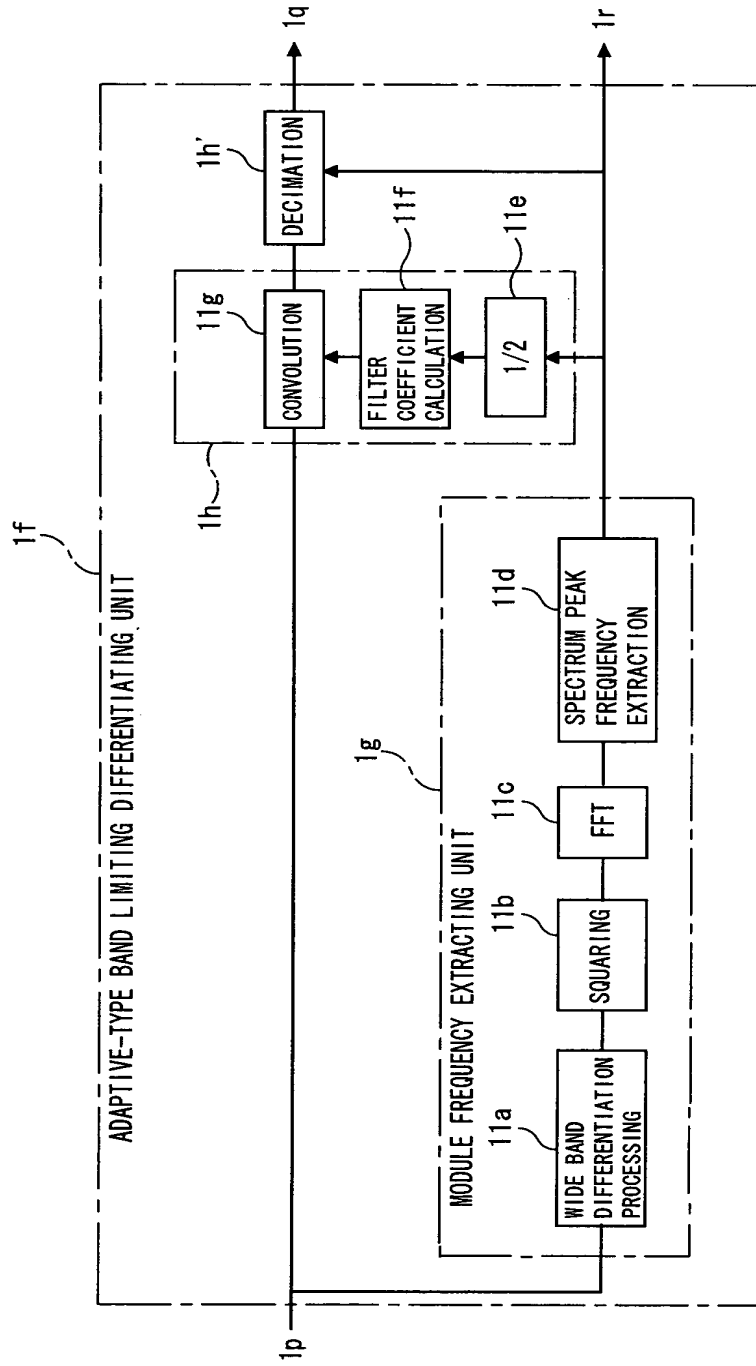


FIG. 23

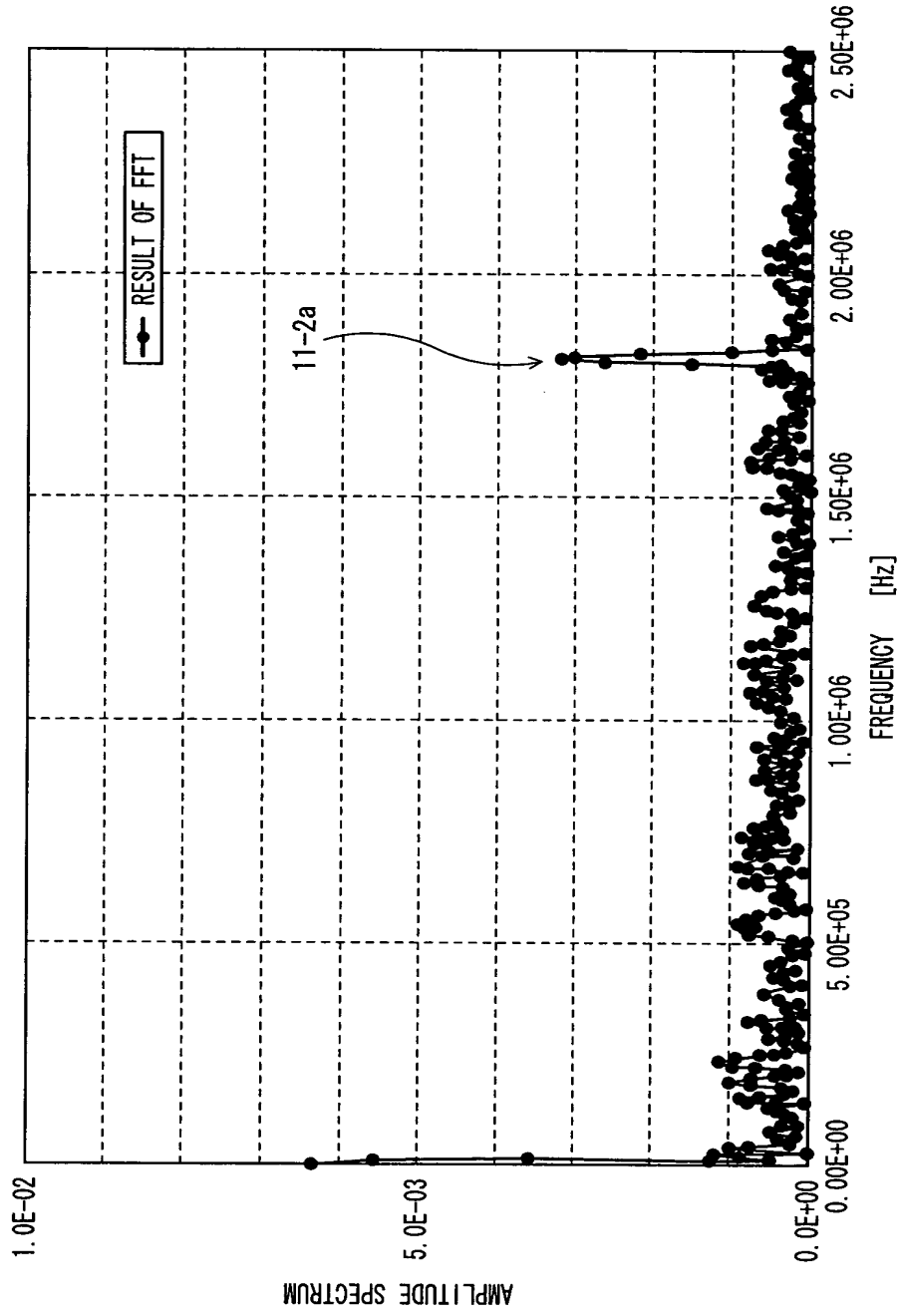


FIG. 24

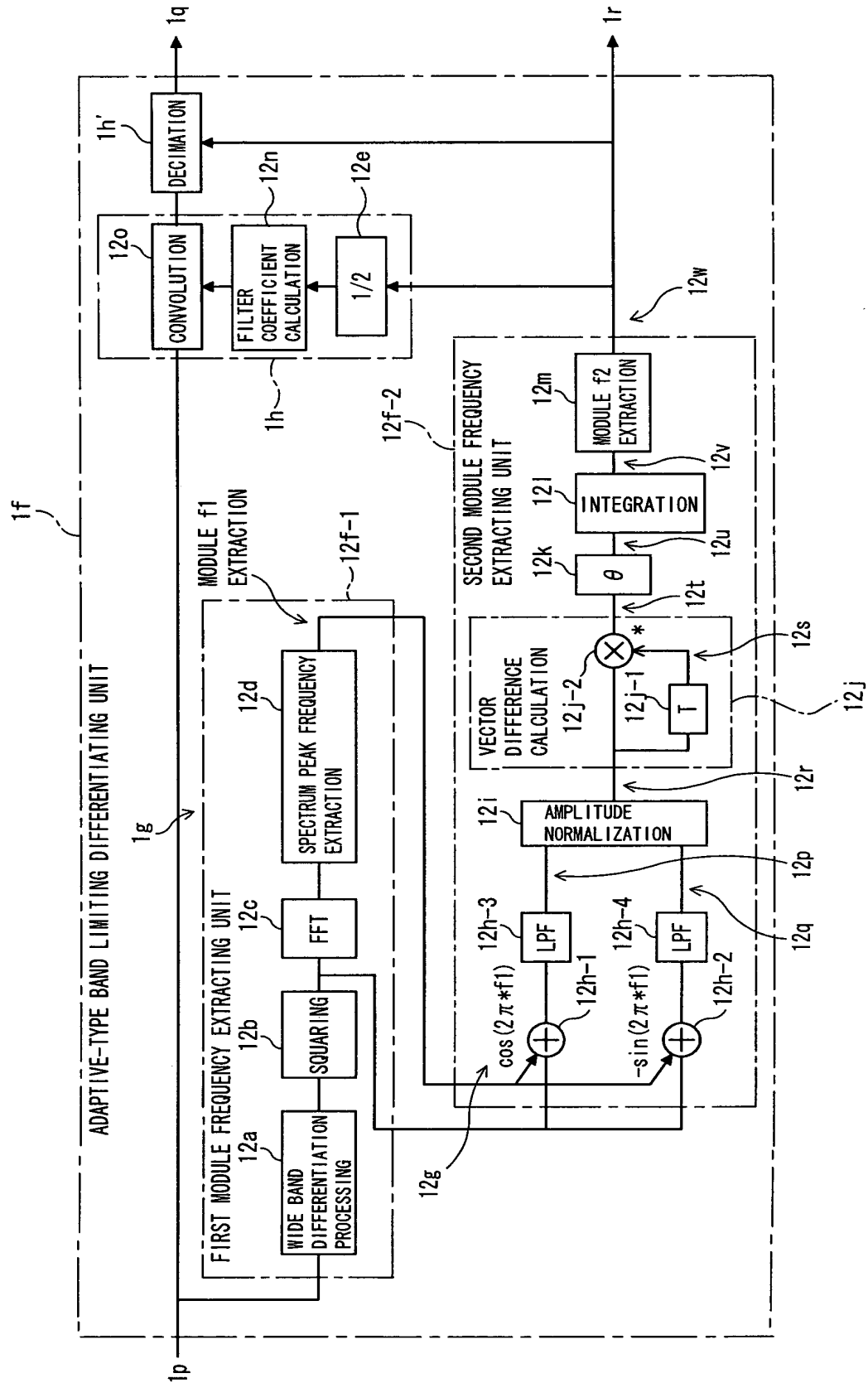


FIG. 25

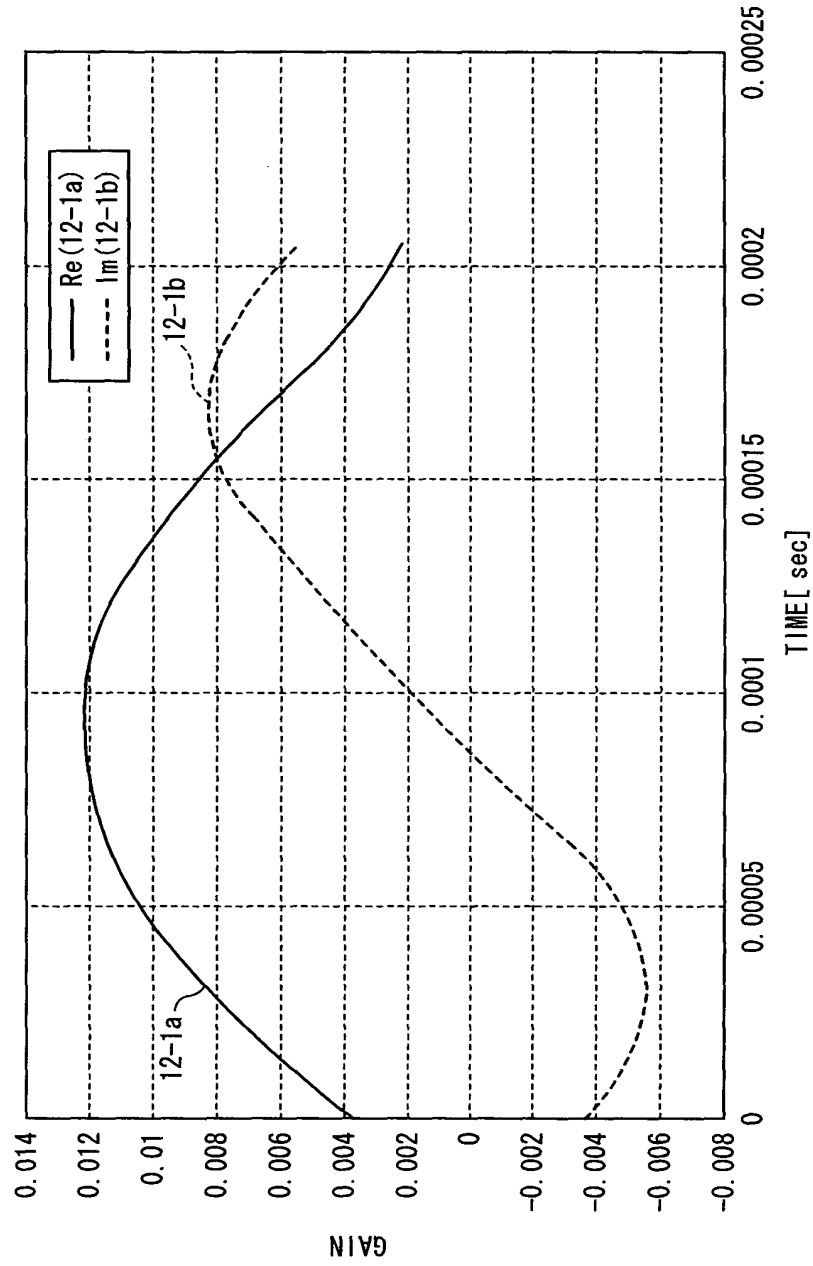


FIG. 26

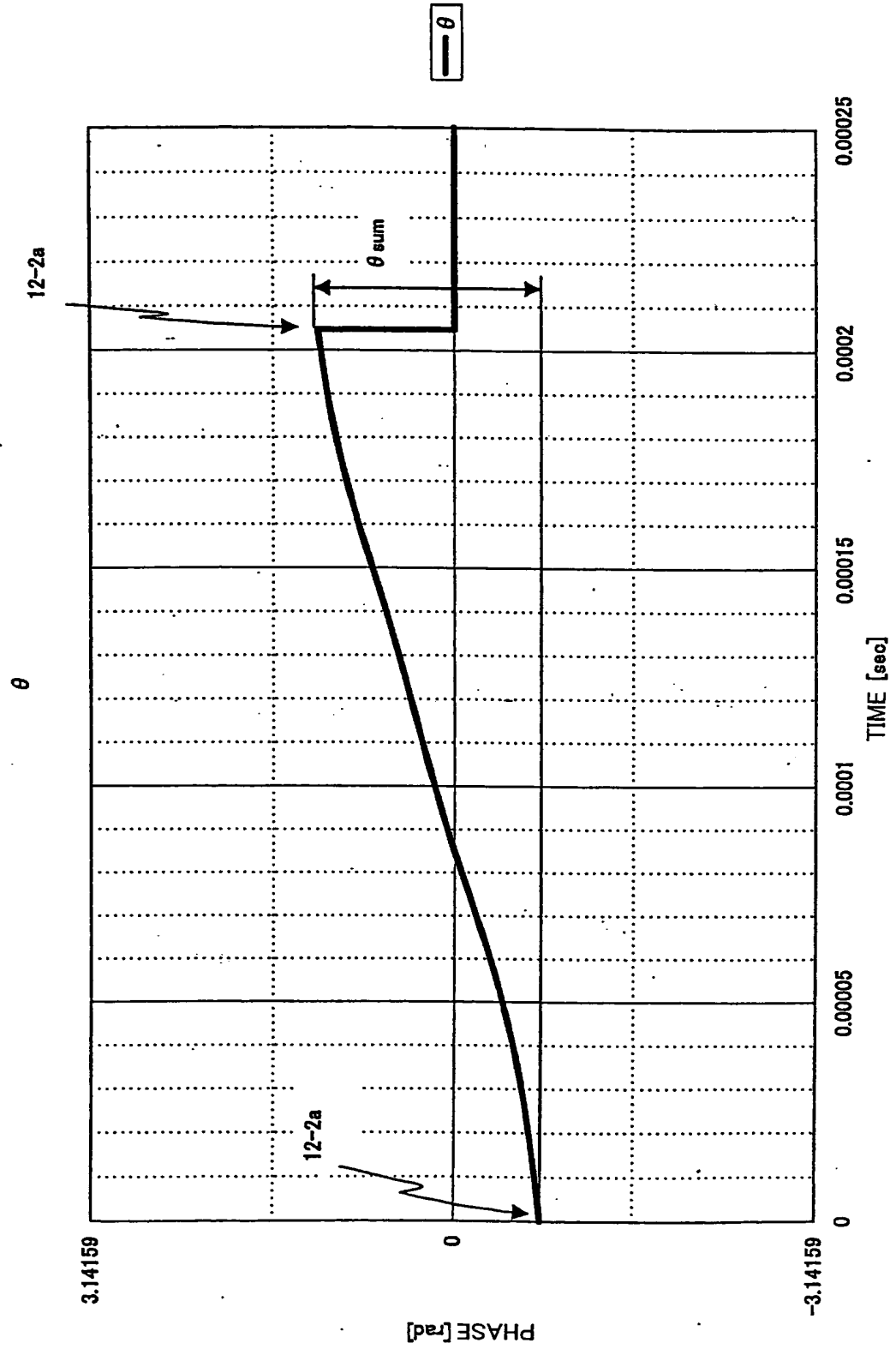


FIG. 27

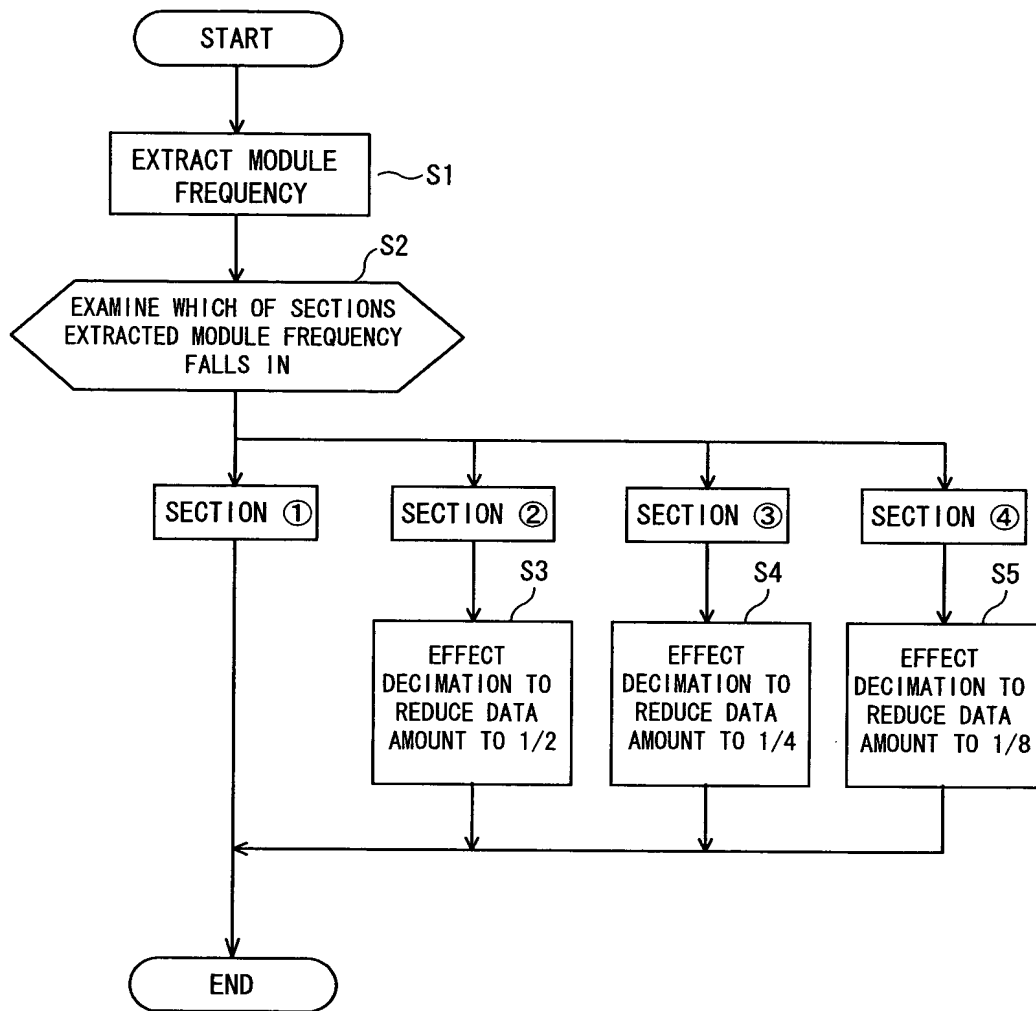


FIG. 29

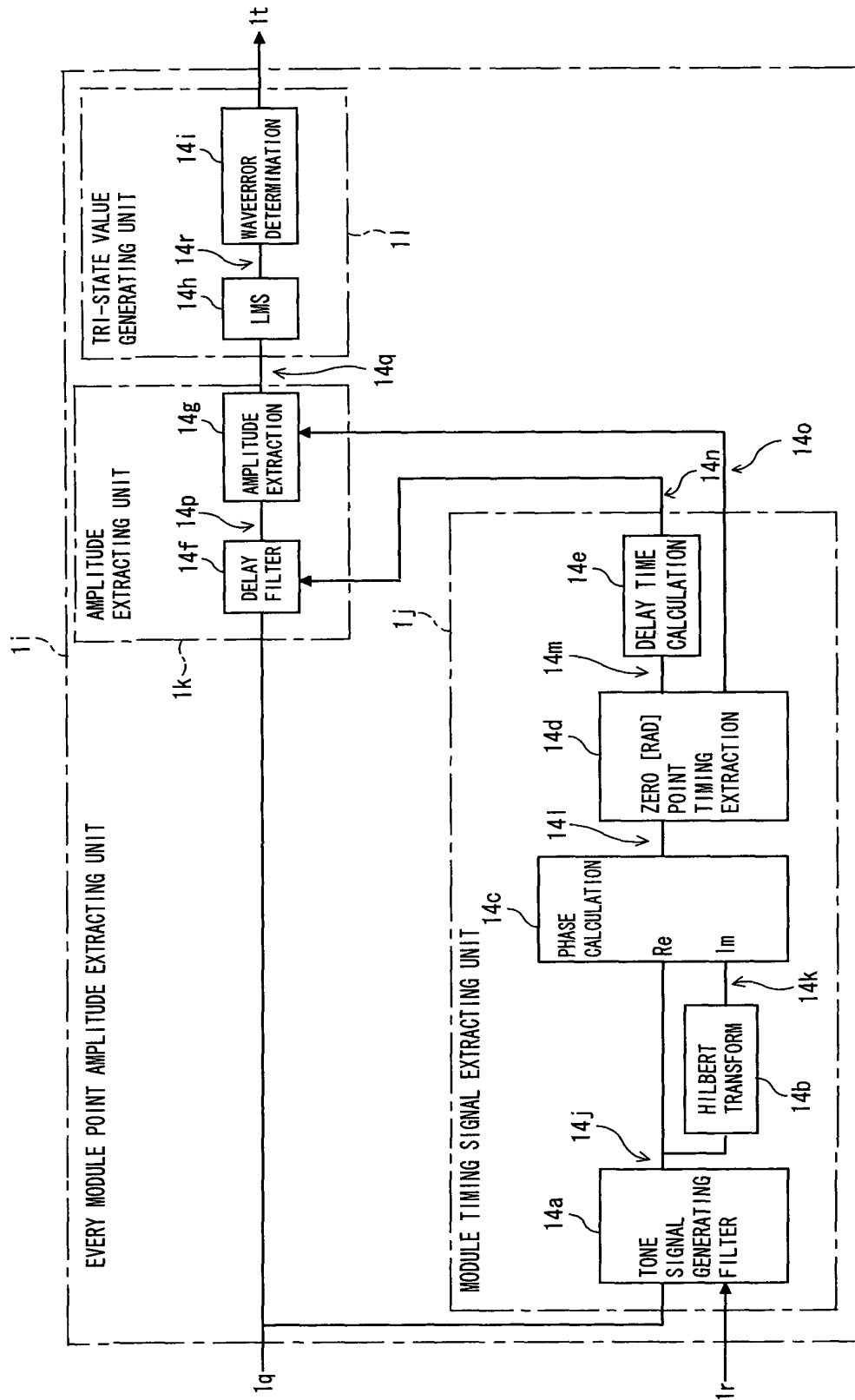


FIG. 30

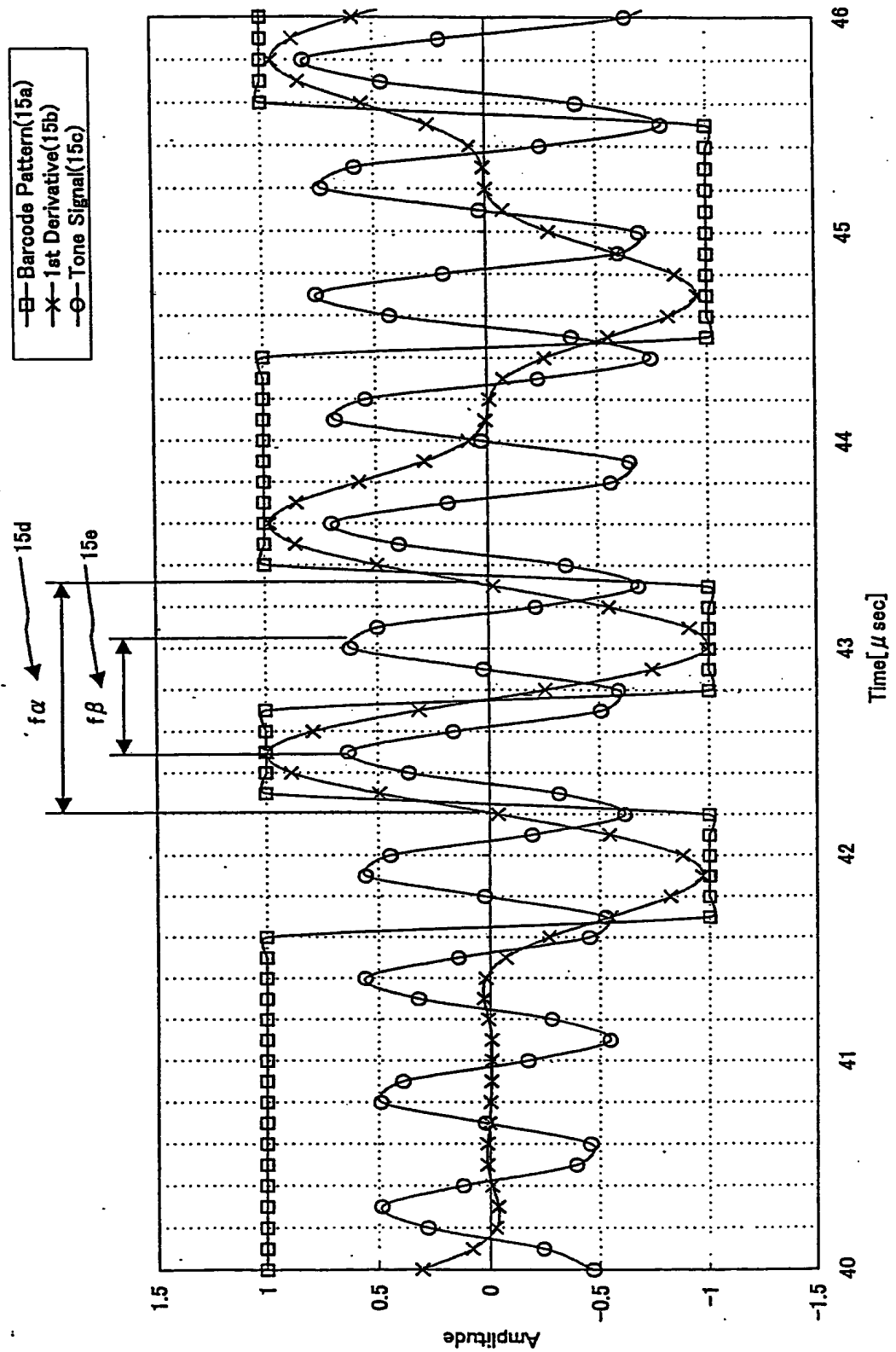


FIG. 31(a)

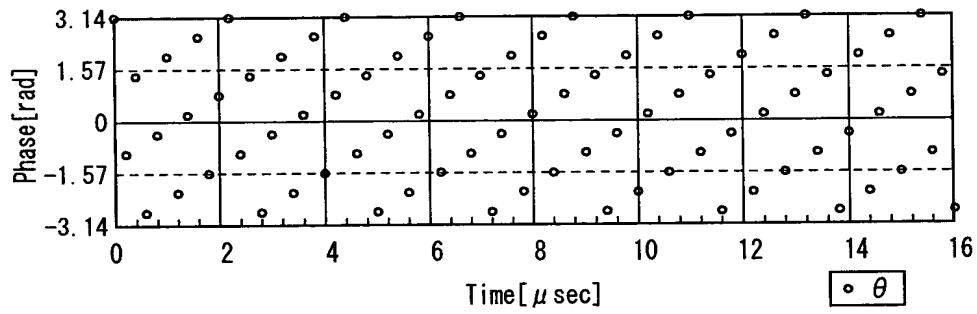


FIG. 31(b)

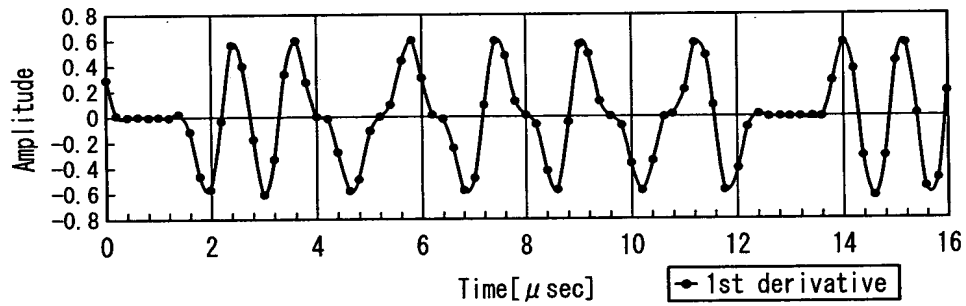


FIG. 31(c)

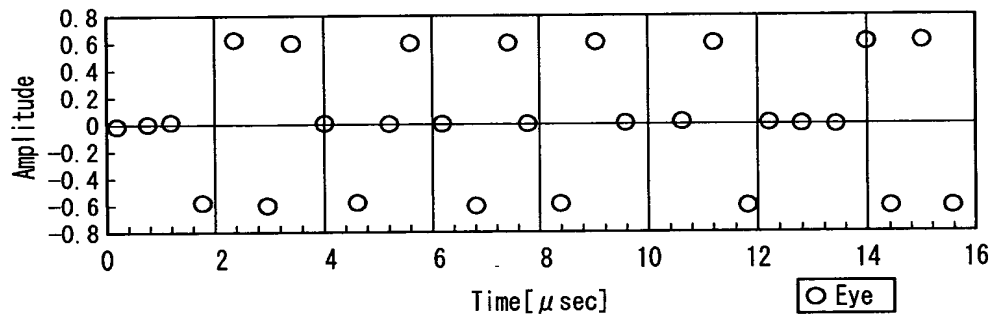


FIG. 32

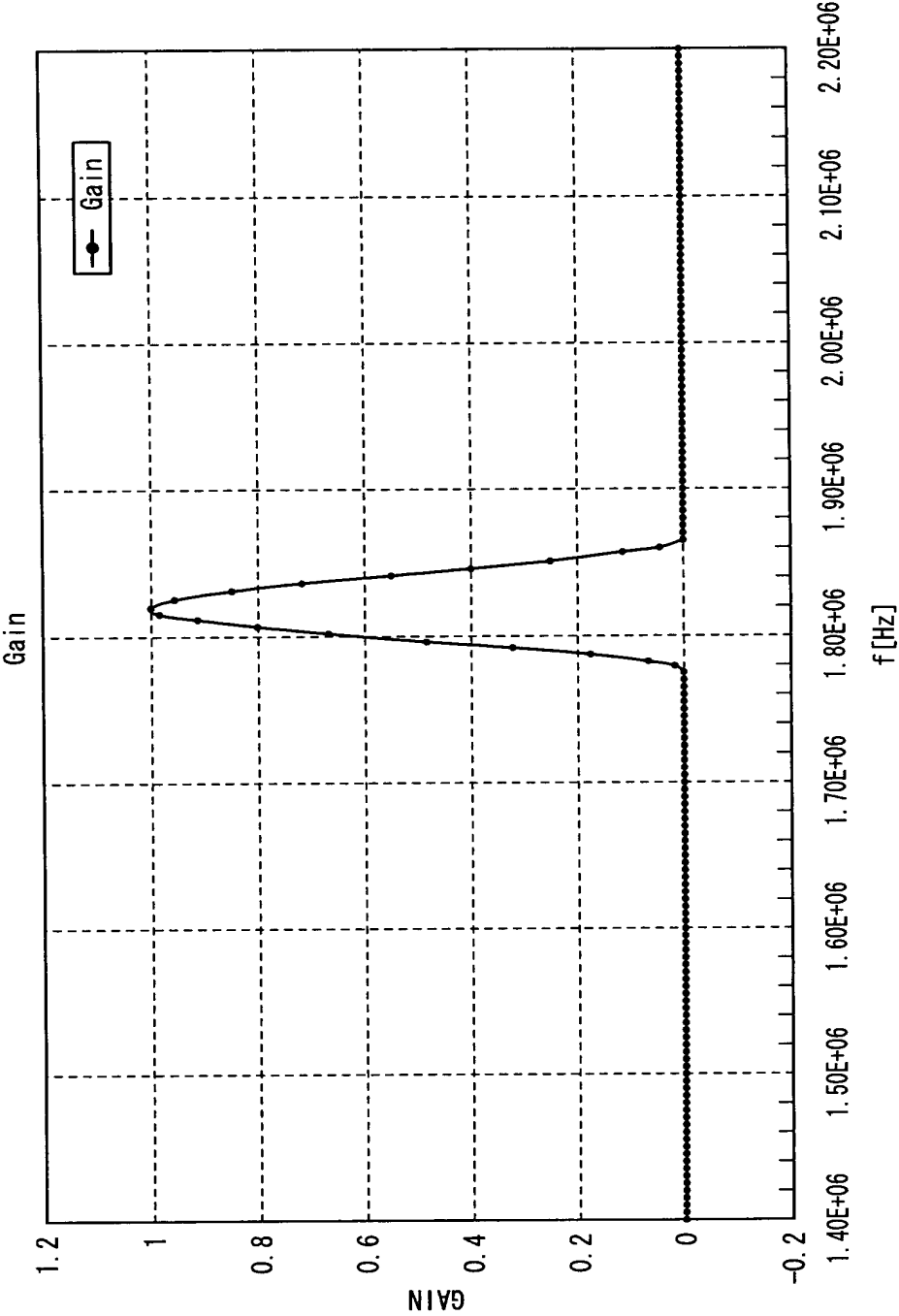


FIG. 33

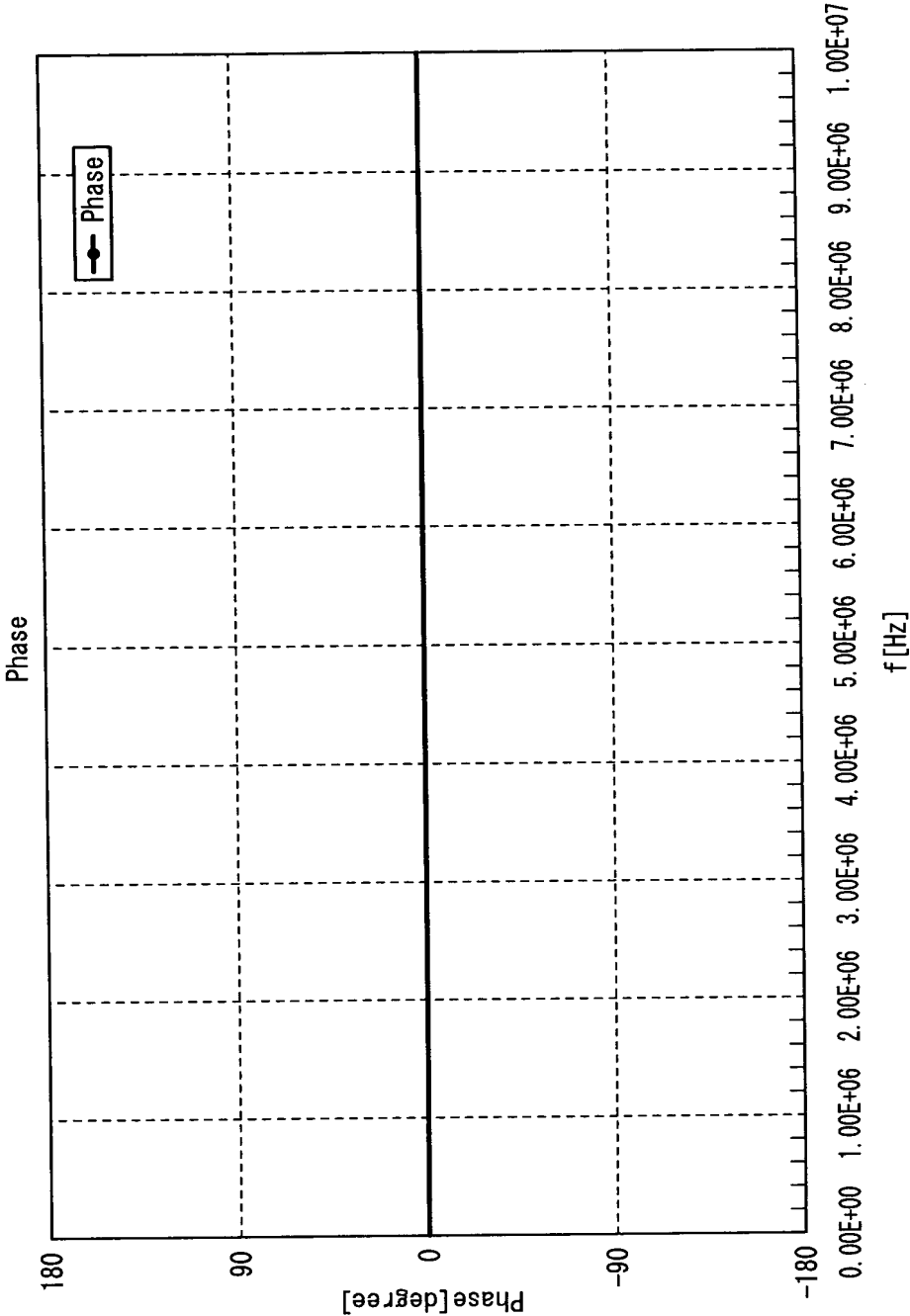


FIG. 34

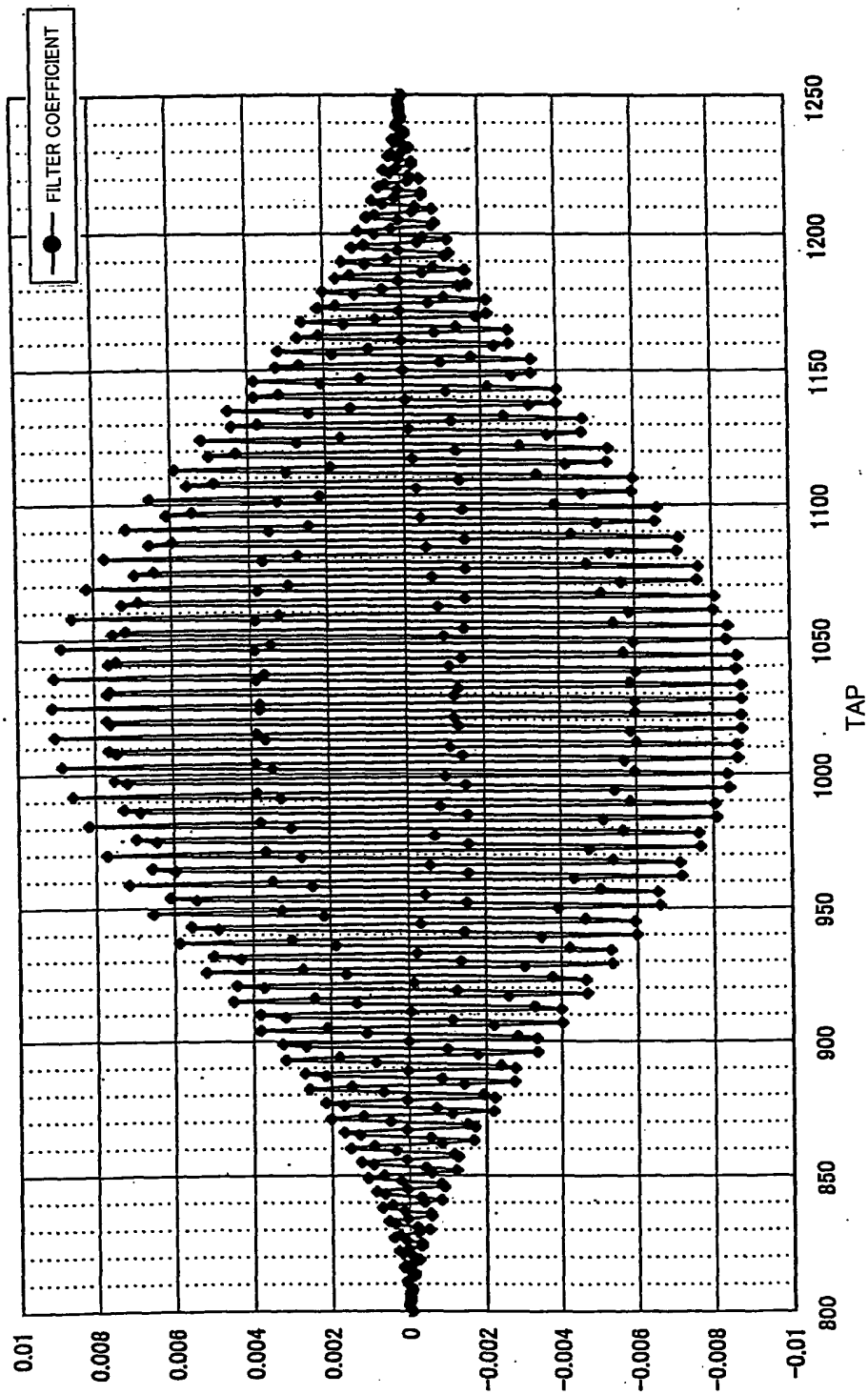


FIG. 35

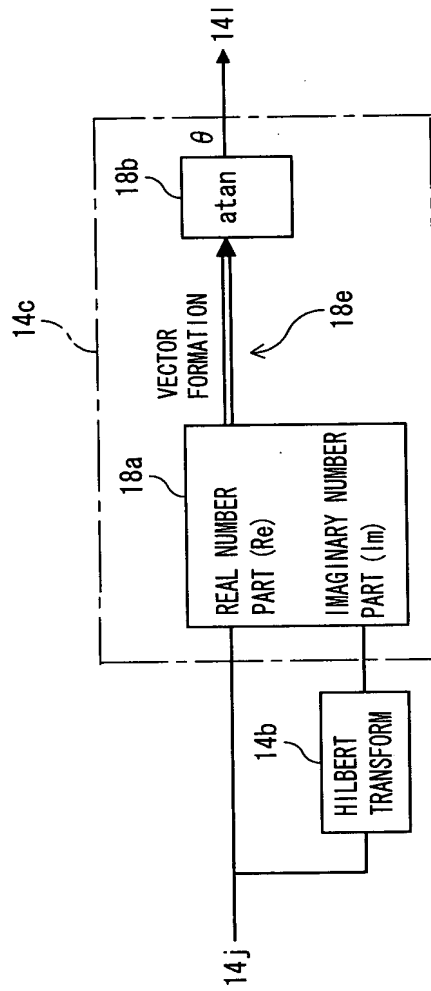


FIG. 36

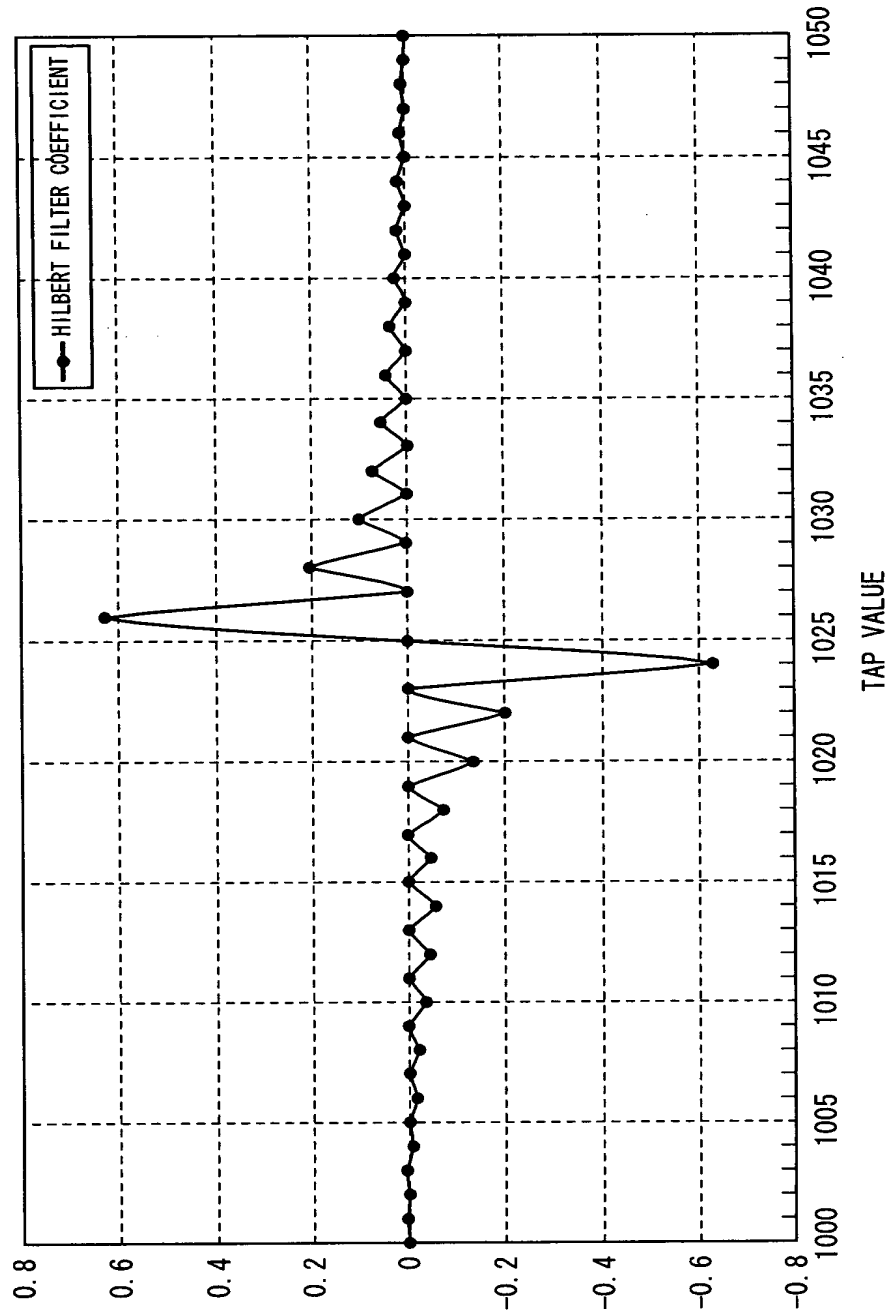


FIG. 37

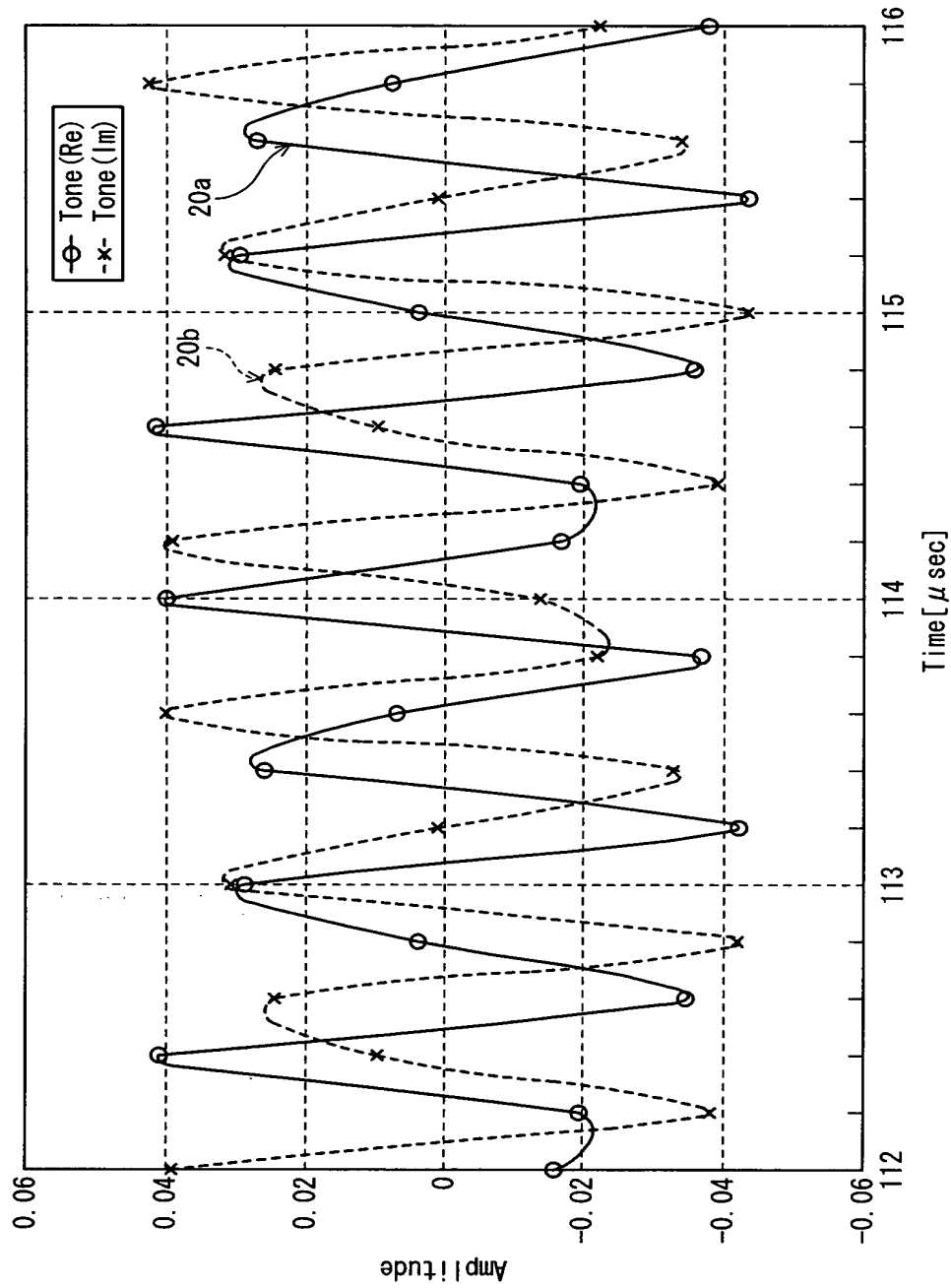


FIG. 38(a)

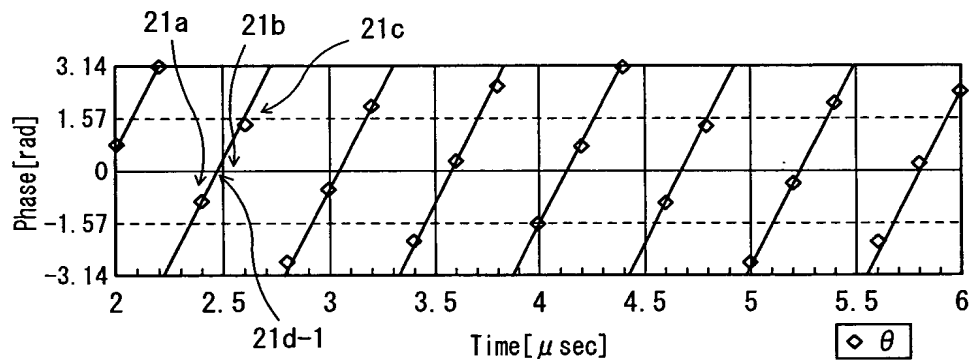


FIG. 38(b)

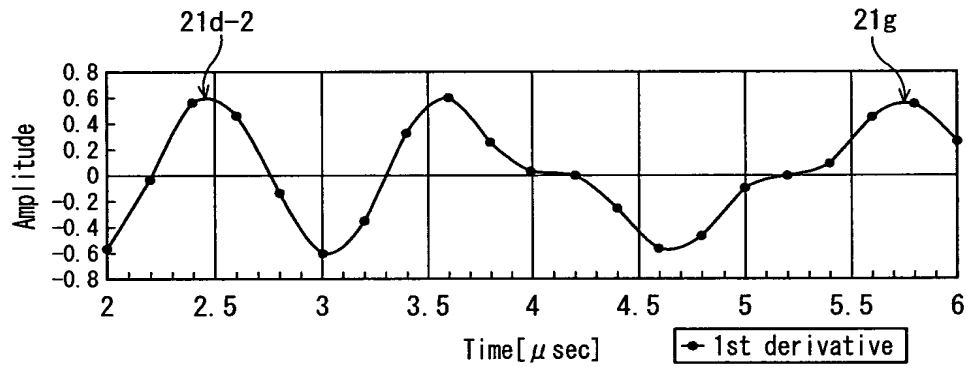


FIG. 38(c)

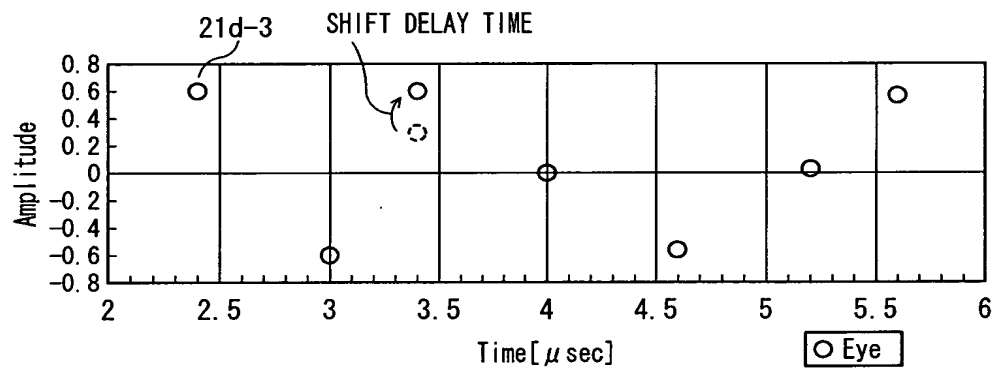


FIG. 39

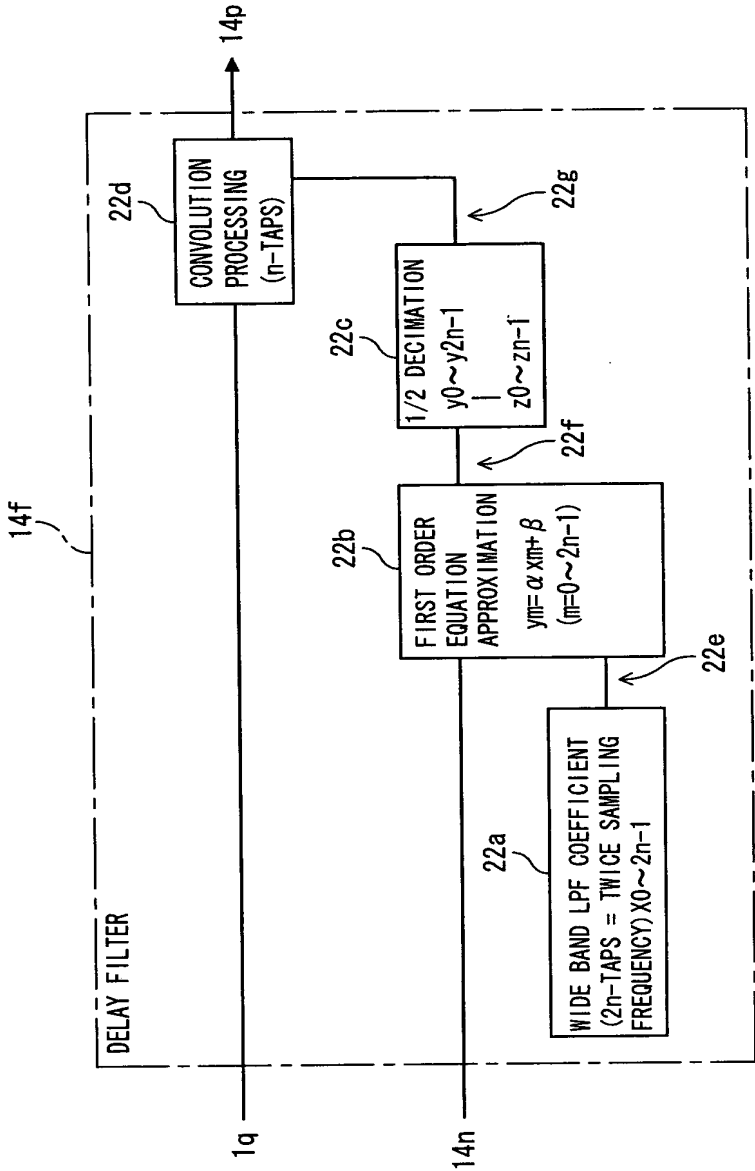
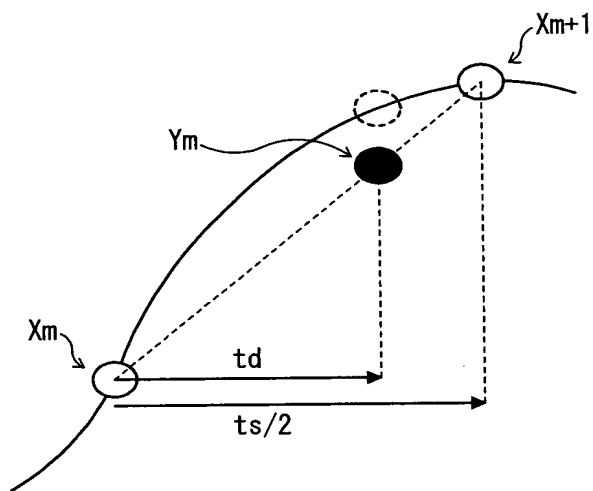


FIG. 40



$$Y_m = \frac{X_{m+1} - X_m}{t_s/2} t_d + X_m$$

FIG. 41

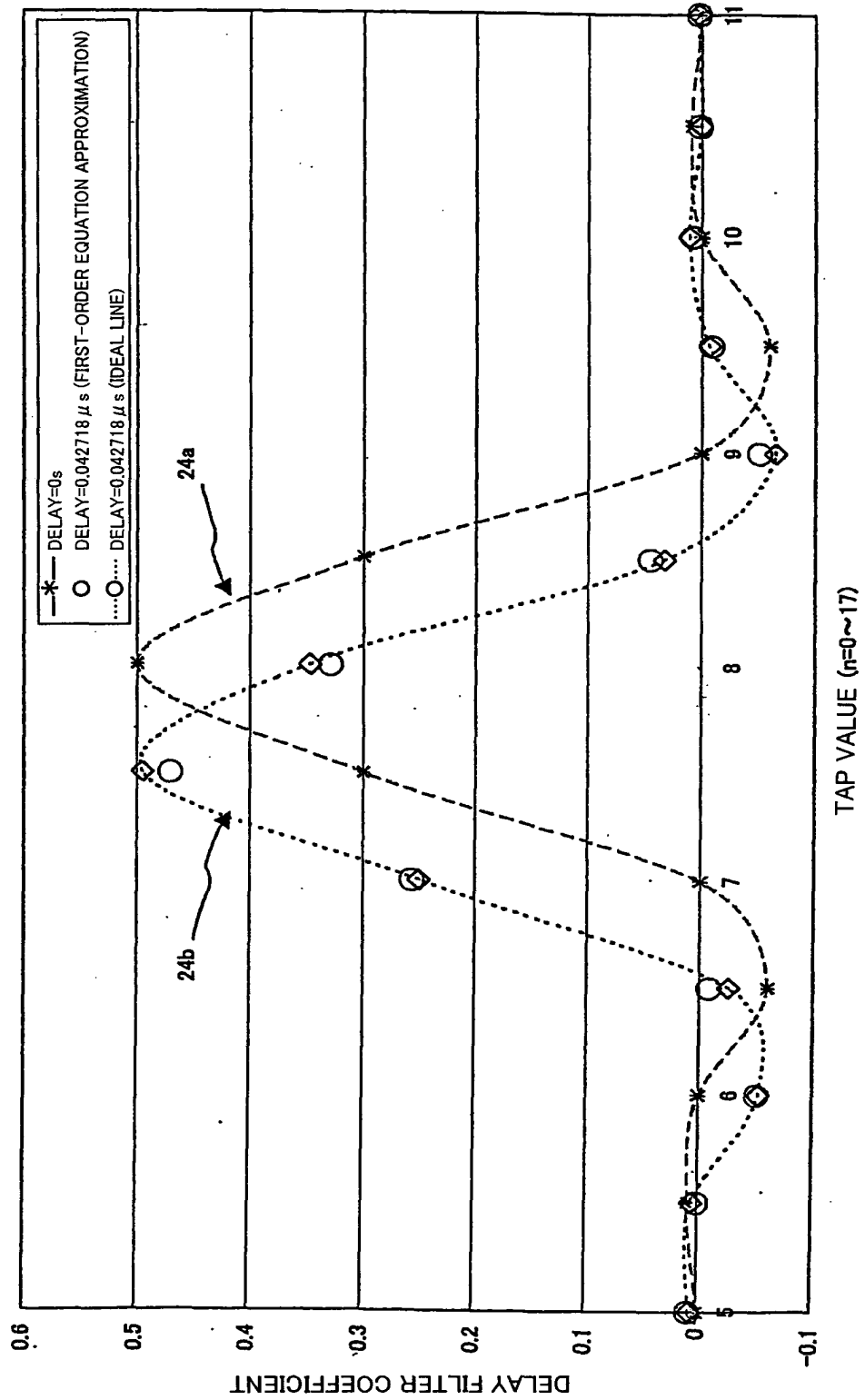


FIG. 42

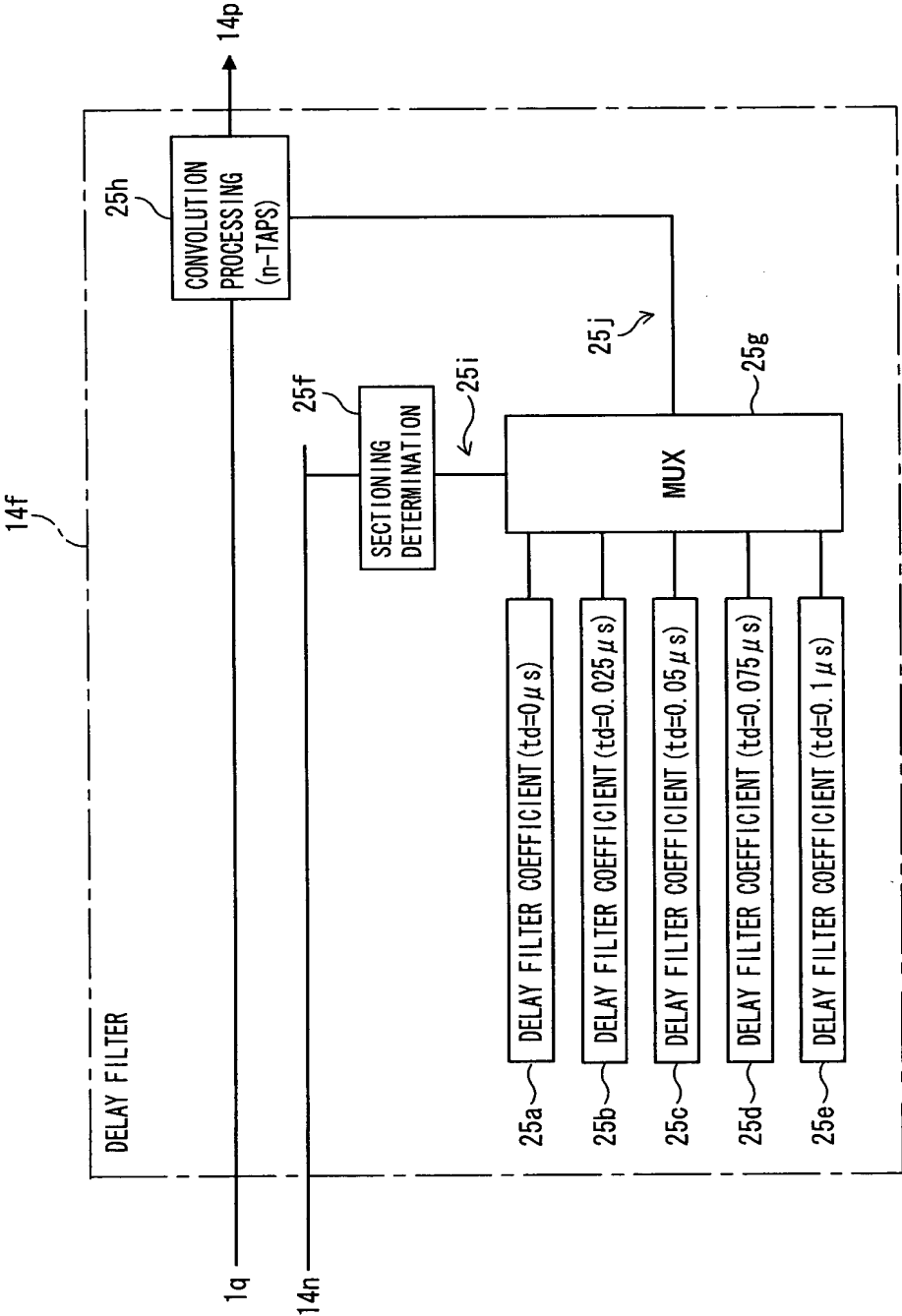


FIG. 43

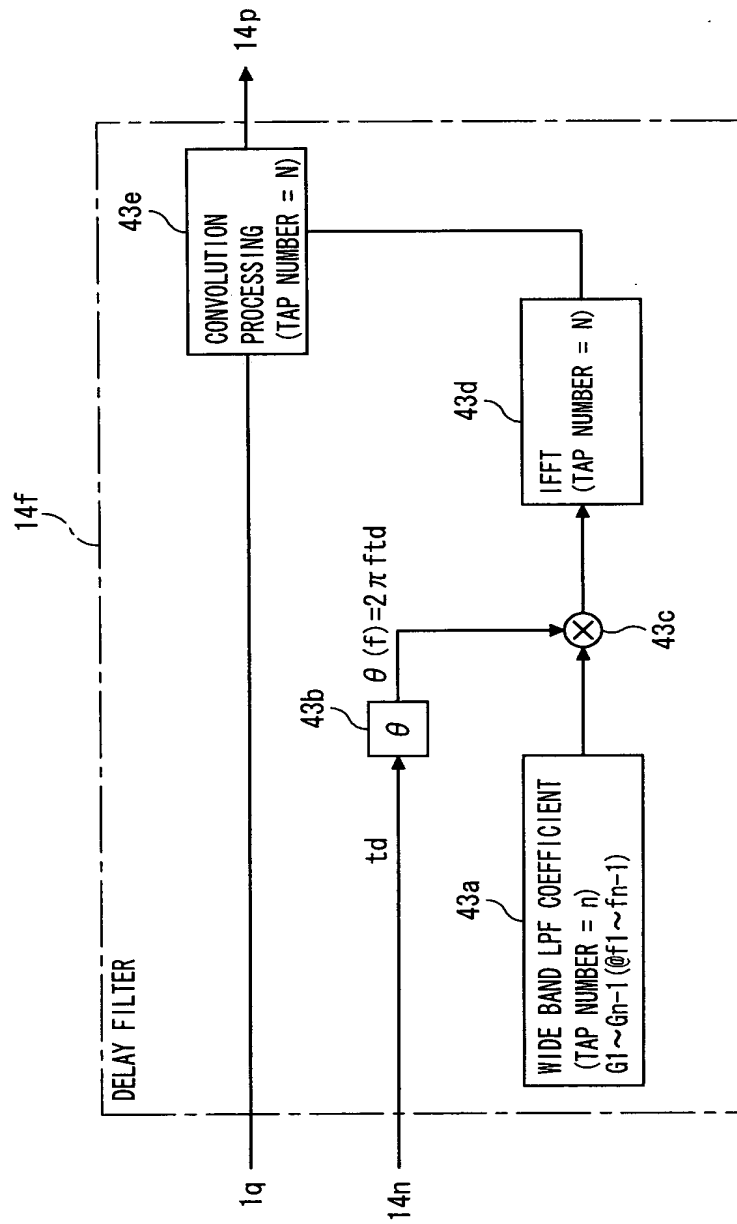


FIG. 44

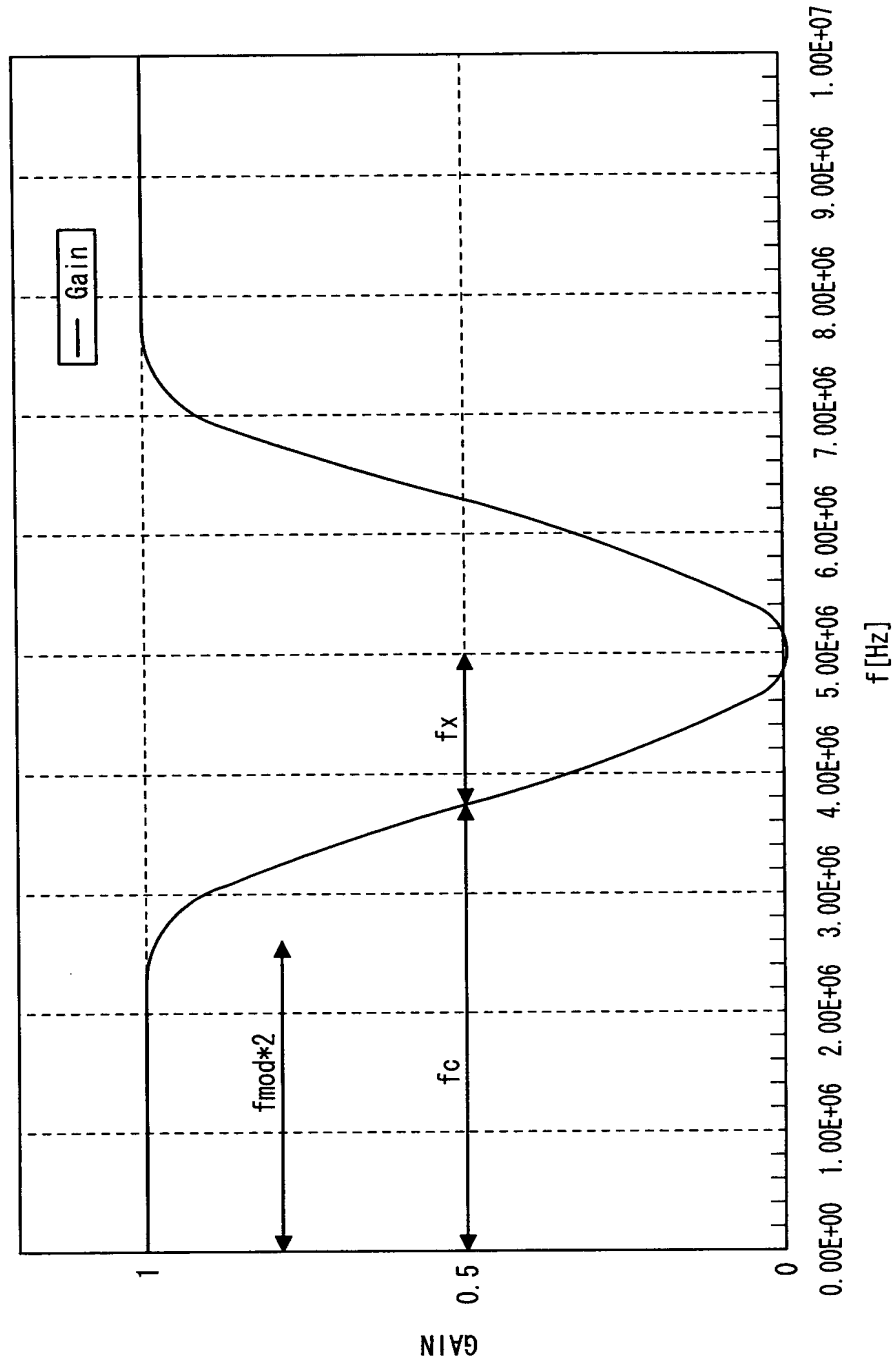


FIG. 45

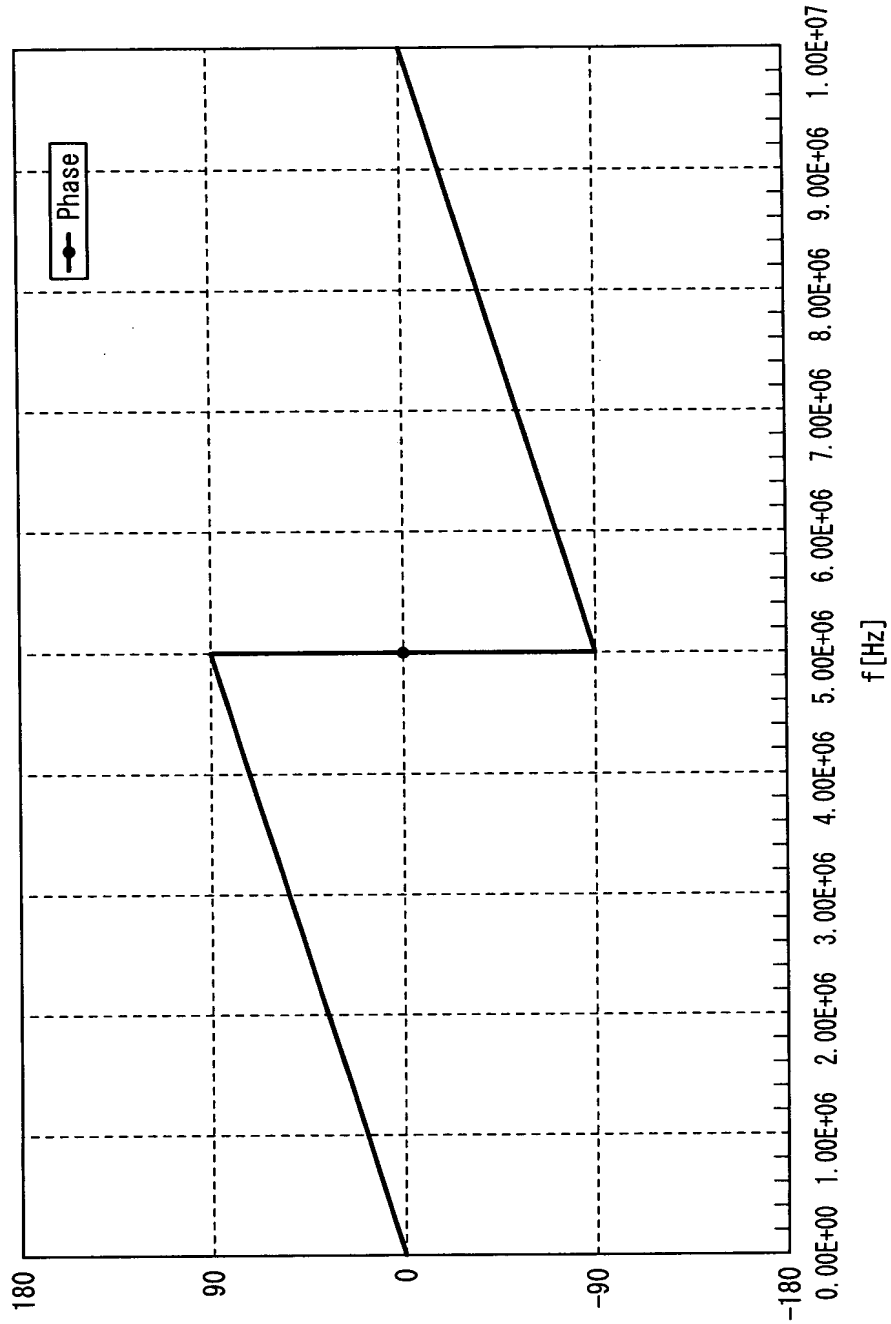


FIG. 46

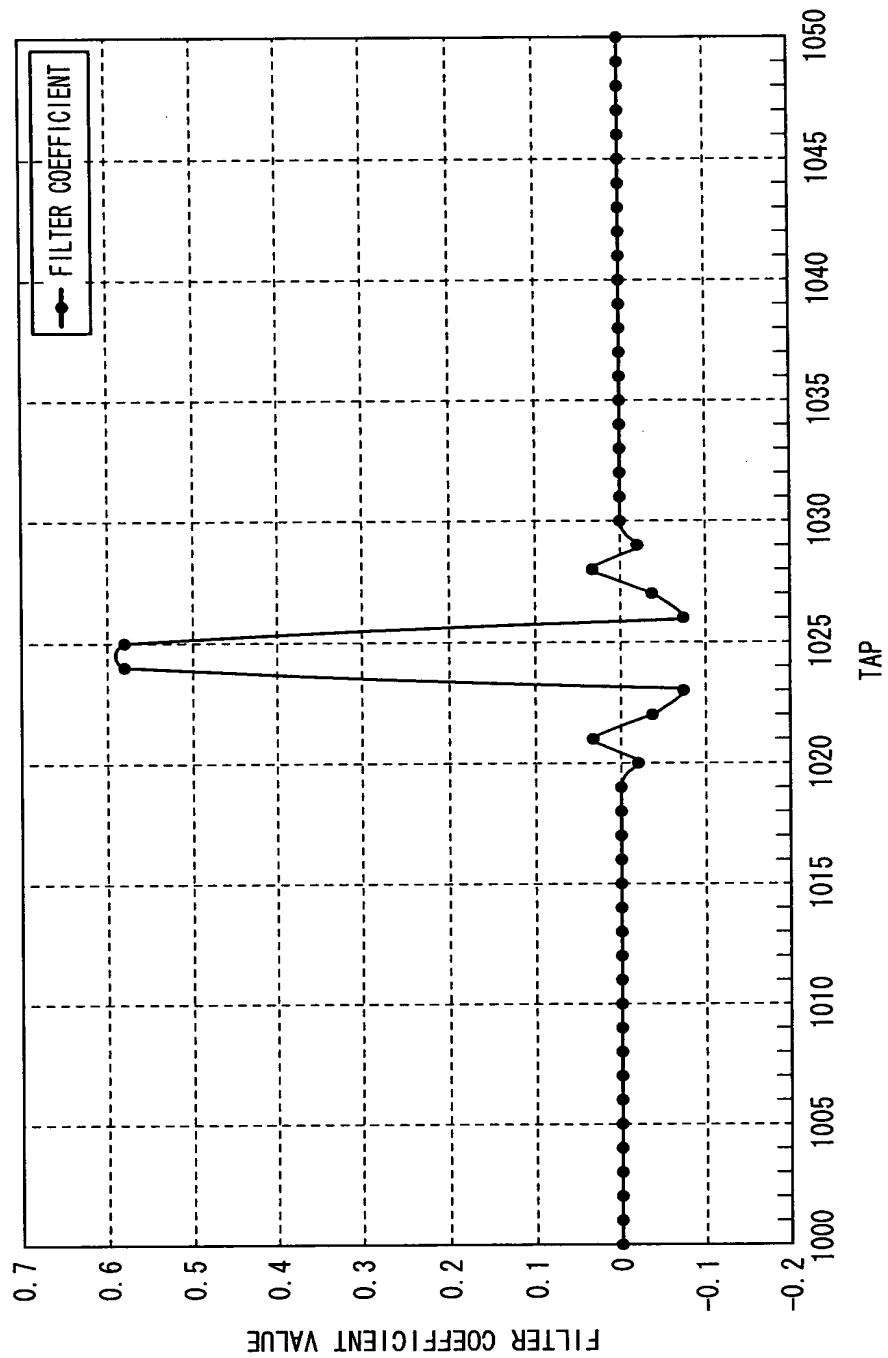


FIG. 47

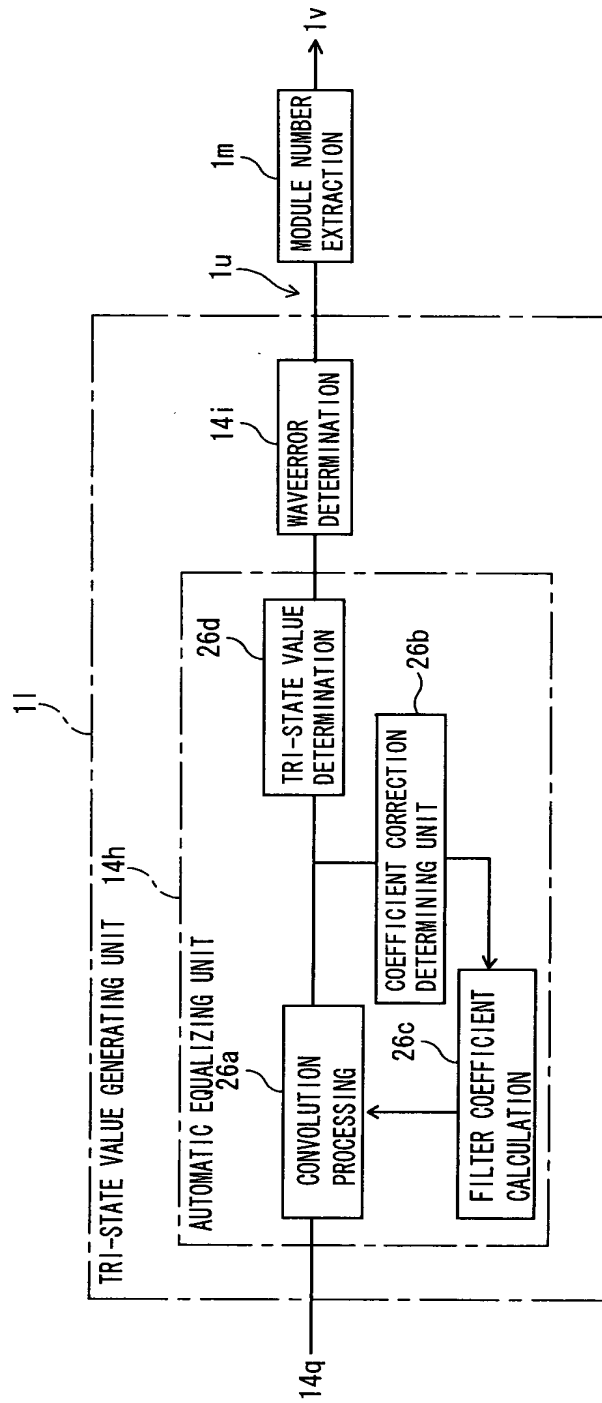


FIG. 48

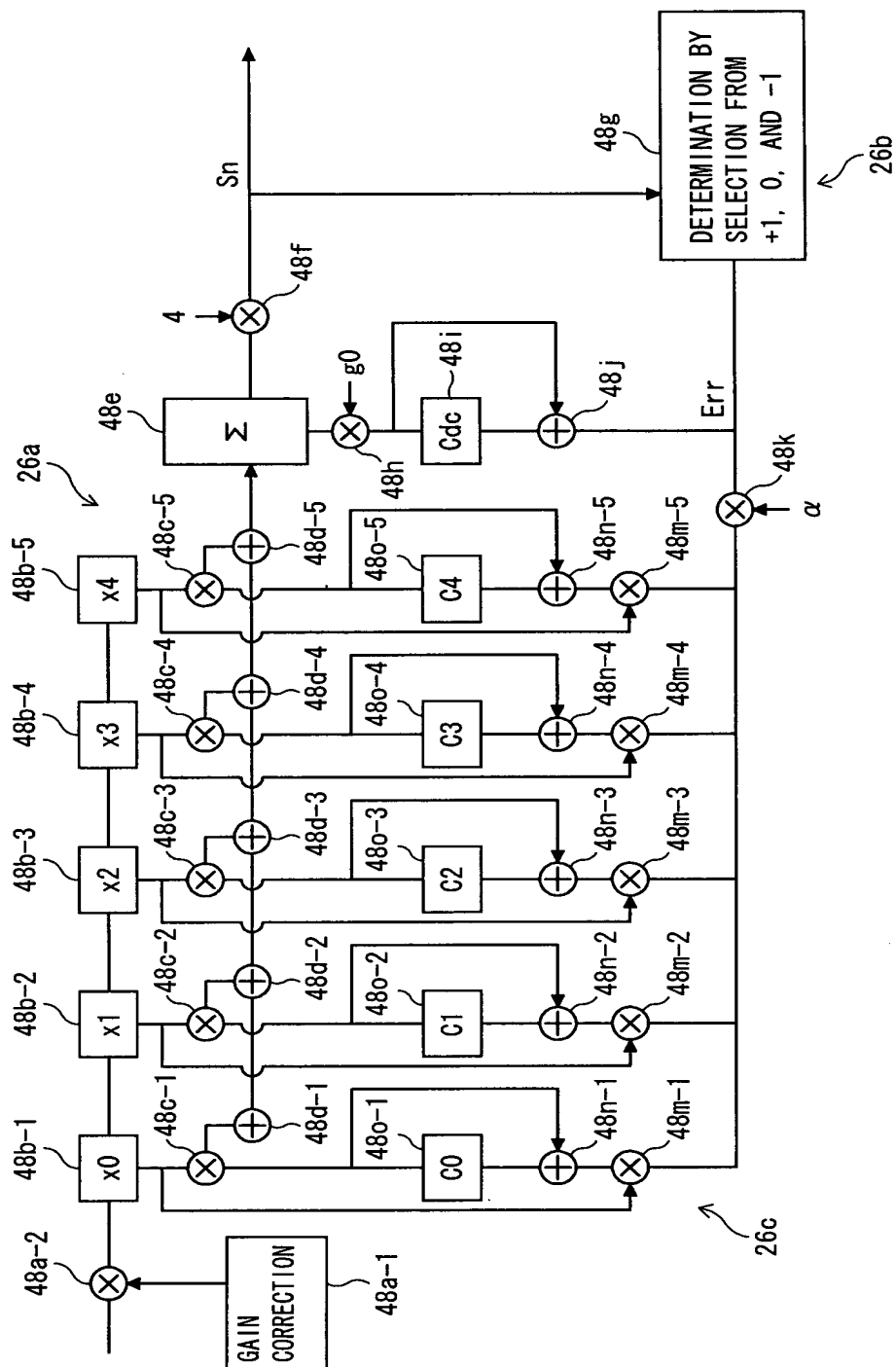
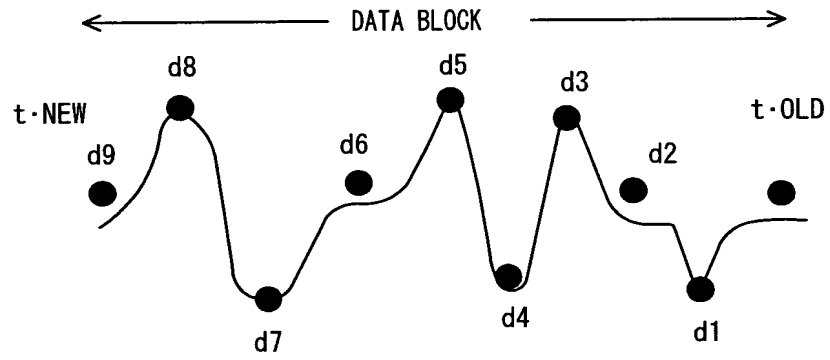
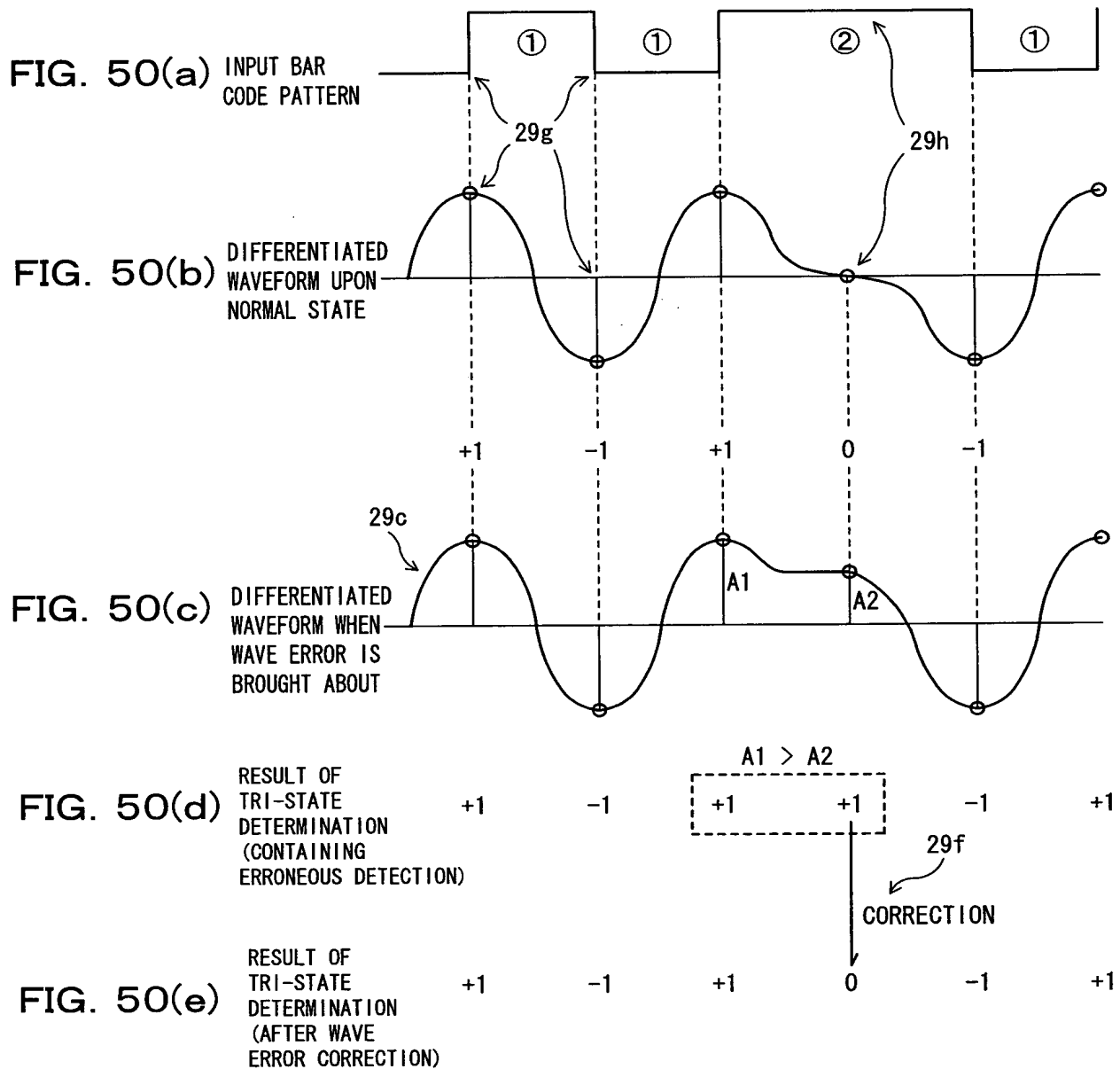


FIG. 49





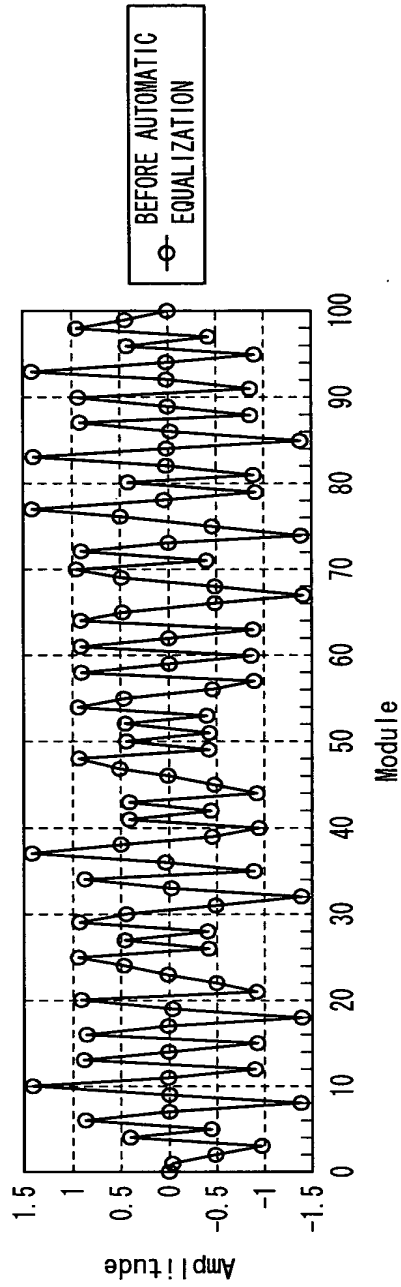


FIG. 51(a)

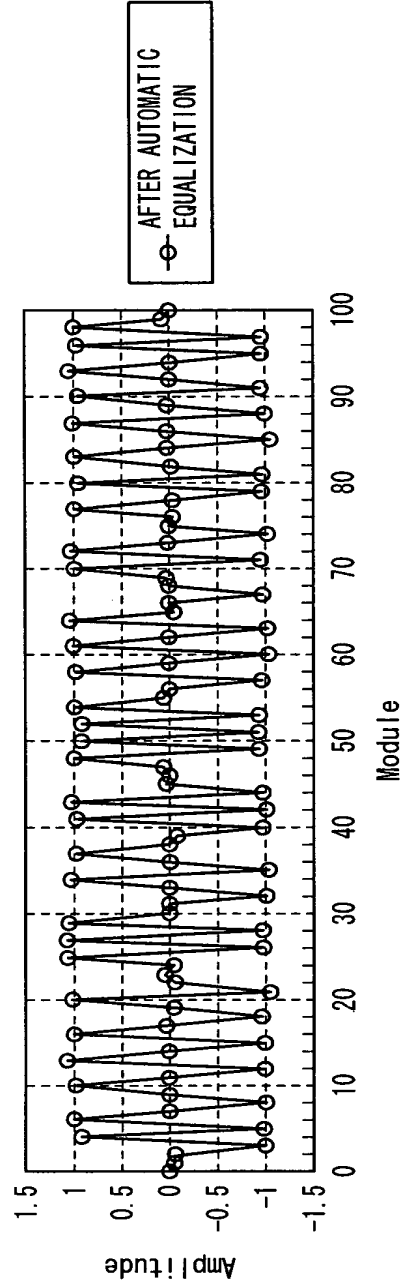


FIG. 51(b)

FIG. 52

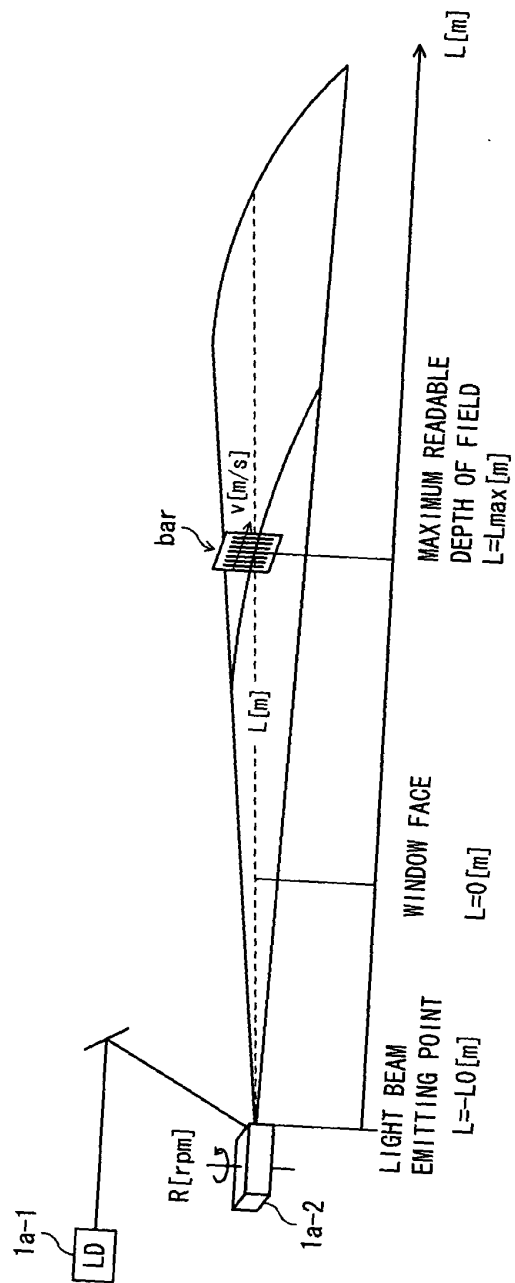


FIG. 53

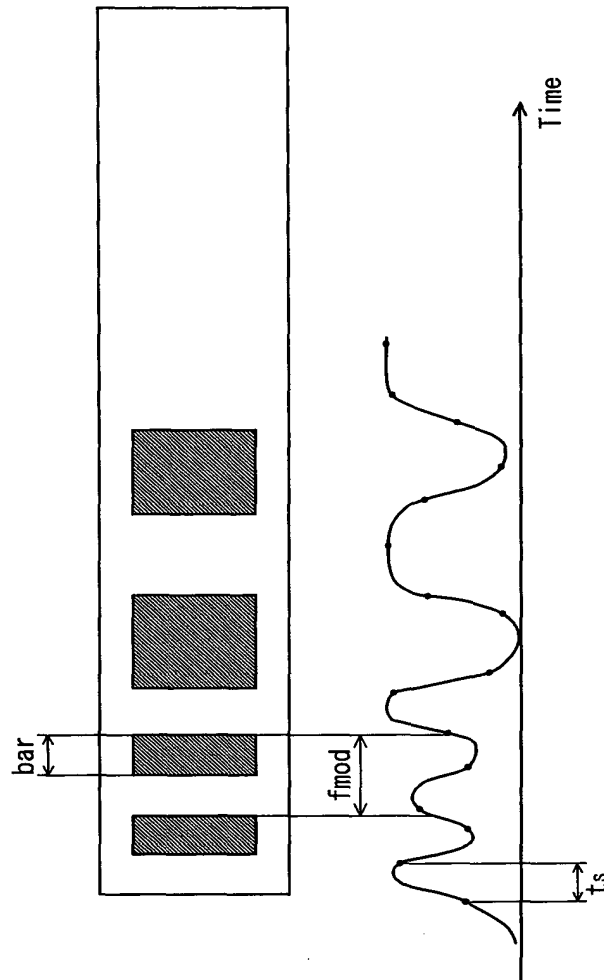


FIG. 54(a)

fmod[kHz]

fs/fmod		v[m/s]							
mag	bar[μs]	200	300	400	500	600	700	800	900
0.6	198	505	758	1010	1263	1515	1768	2020	2273
0.5	165	606	909	1212	1515	1818	2121	2424	2727
0.4	132	758	1136	1515	1894	2273	2652	3030	3409
0.3	99	1010	1515	2020	2525	3030	3535	4040	4545

FIG. 54(b)

fs=5MHz

fs/fmod		v[m/s]							
mag	bar[μs]	200	300	400	500	600	700	800	900
0.6	198	9	6	4	3	3	2	2	2
0.5	165	8	5	4	3	2	2	2	1
0.4	132	6	4	3	2	2	1	1	1
0.3	99	4	3	2	1	1	1	1	1

FIG. 54(c)

fs=10MHz

fs/fmod		v[m/s]							
mag	bar[μs]	200	300	400	500	600	700	800	900
0.6	198	19	13	9	7	6	5	4	4
0.5	165	16	11	8	6	5	4	4	3
0.4	132	13	8	6	5	4	3	3	2
0.3	99	9	6	4	3	3	2	2	2

FIG. 54(d)

fs=20MHz

fs/fmod		v[m/s]							
mag	bar[μs]	200	300	400	500	600	700	800	900
0.6	198	39	26	19	15	13	11	9	8
0.5	165	33	22	16	13	11	9	8	7
0.4	132	26	17	13	10	8	7	6	5
0.3	99	19	13	9	7	6	5	4	4

FIG. 54(e)

fs=40MHz

fs/fmod		v[m/s]							
mag	bar[μs]	200	300	400	500	600	700	800	900
0.6	198	79	52	38	31	28	22	19	17
0.5	165	66	44	33	26	22	18	16	14
0.4	132	62	35	26	21	17	15	13	11
0.3	99	39	26	19	15	13	11	9	8

FIG. 55

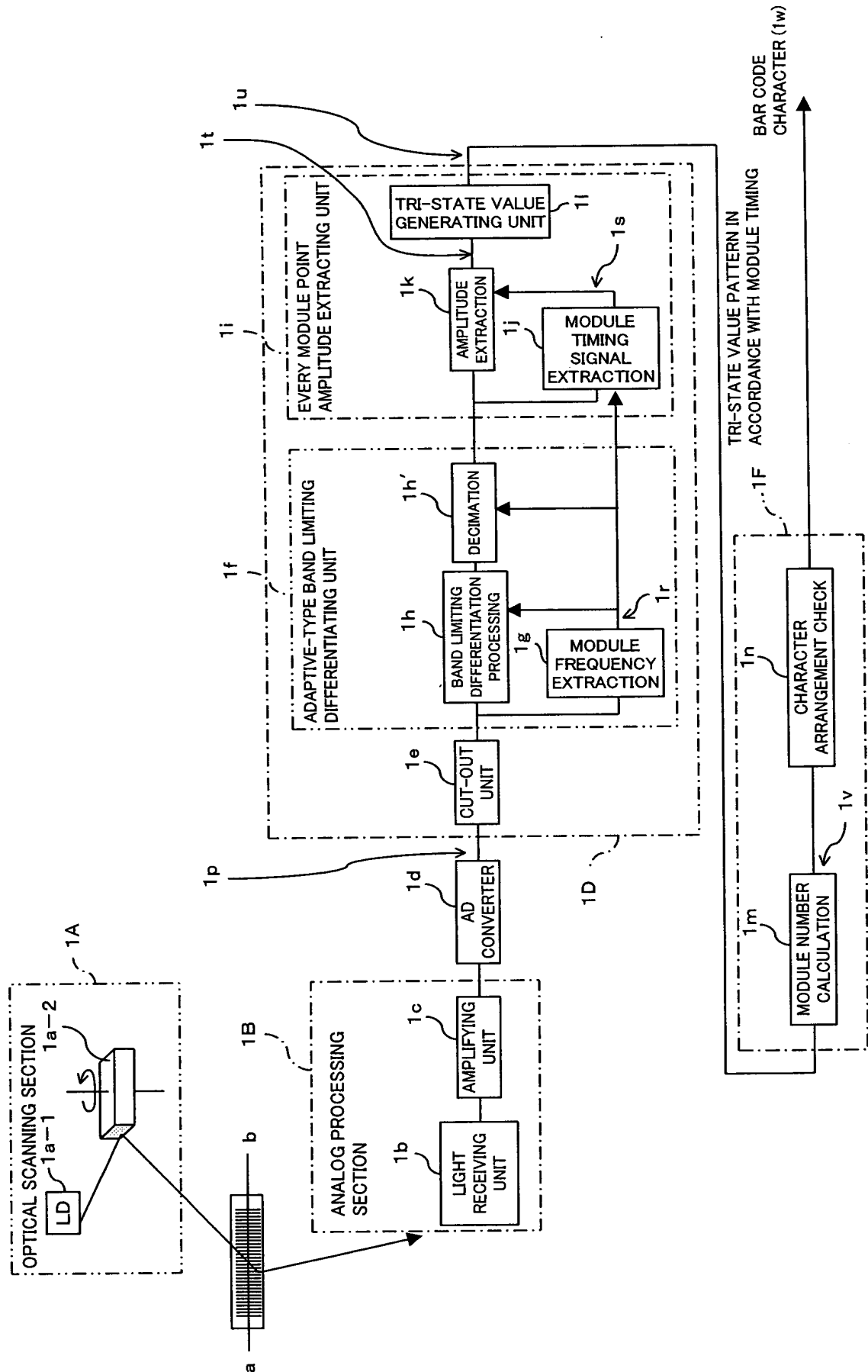


FIG. 56

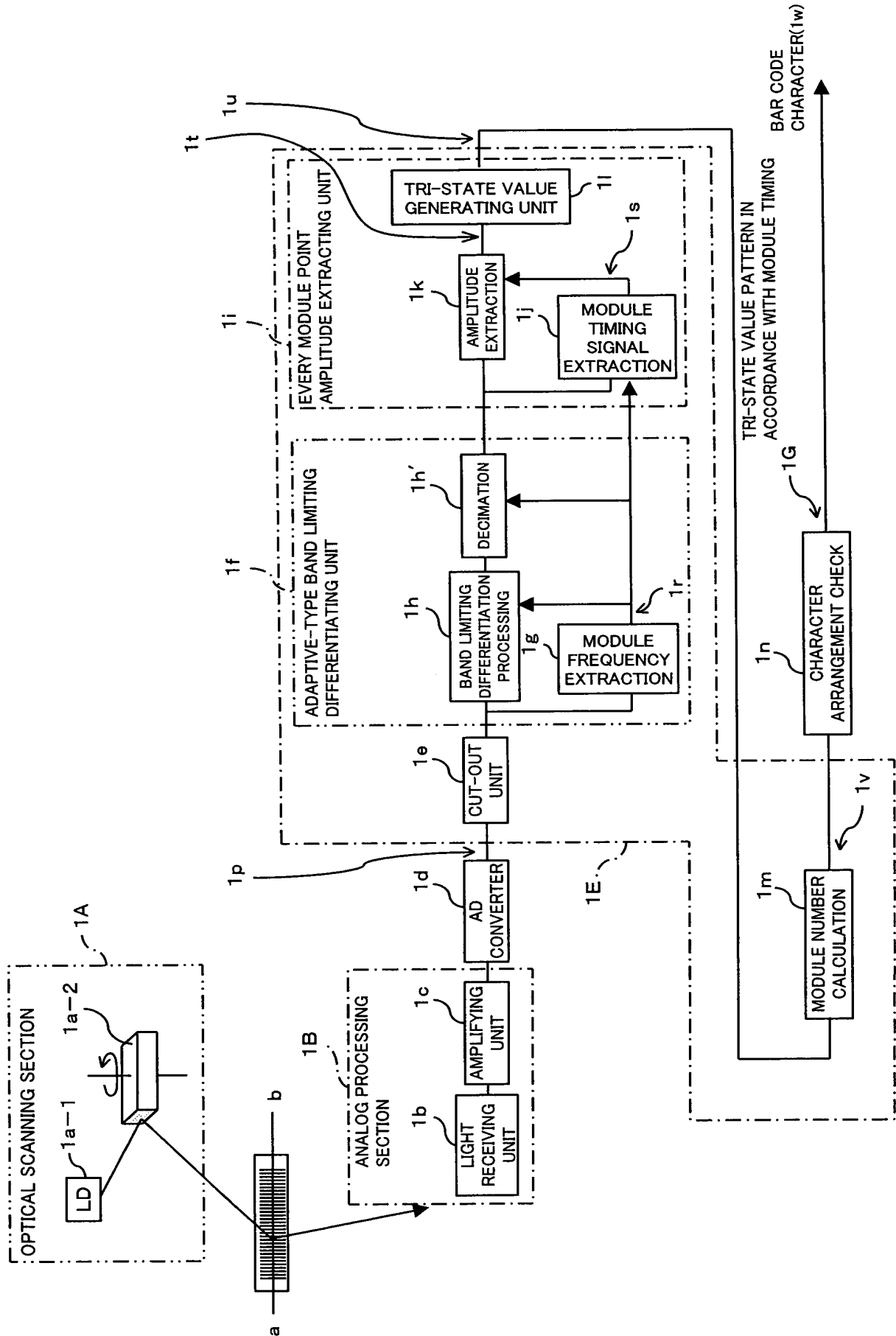


FIG. 57

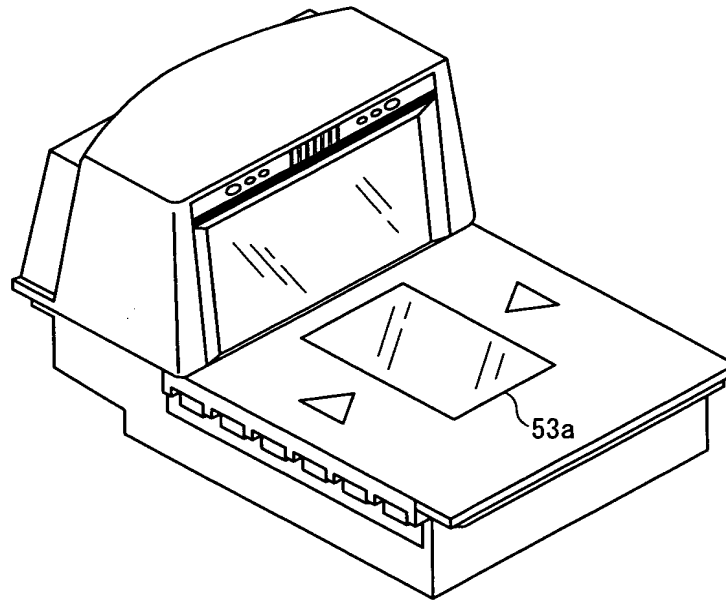


FIG. 58

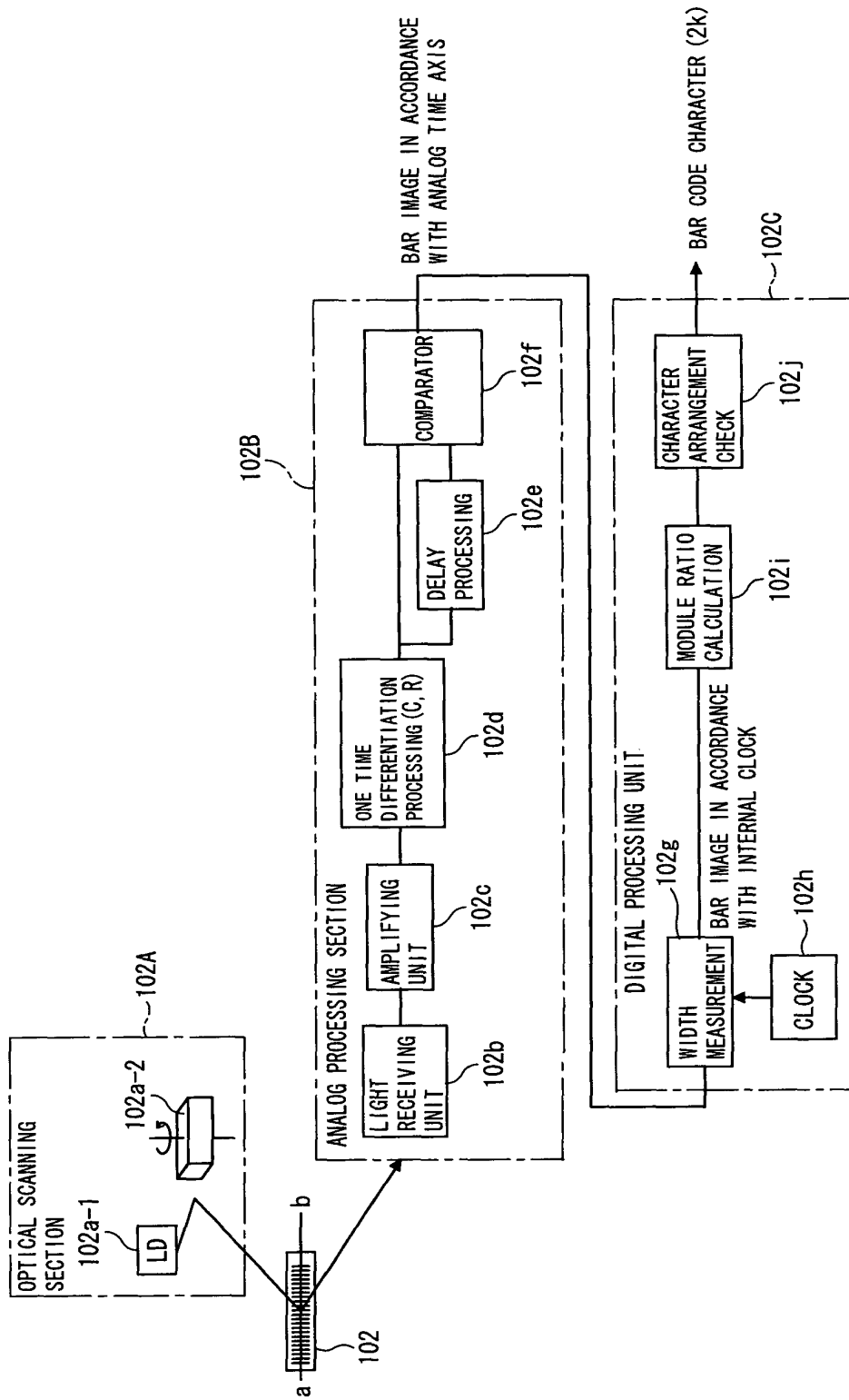


FIG. 59

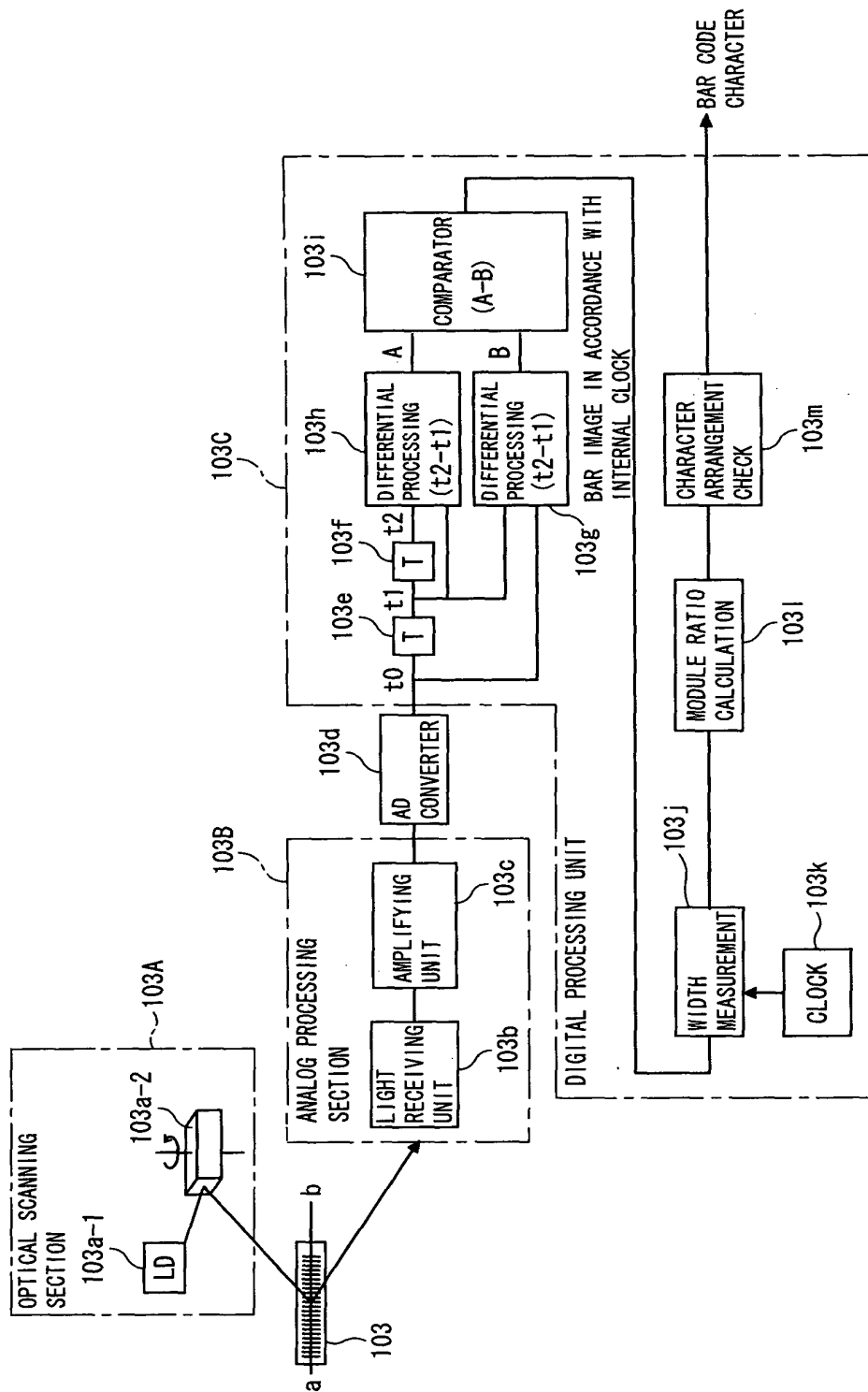


FIG. 60

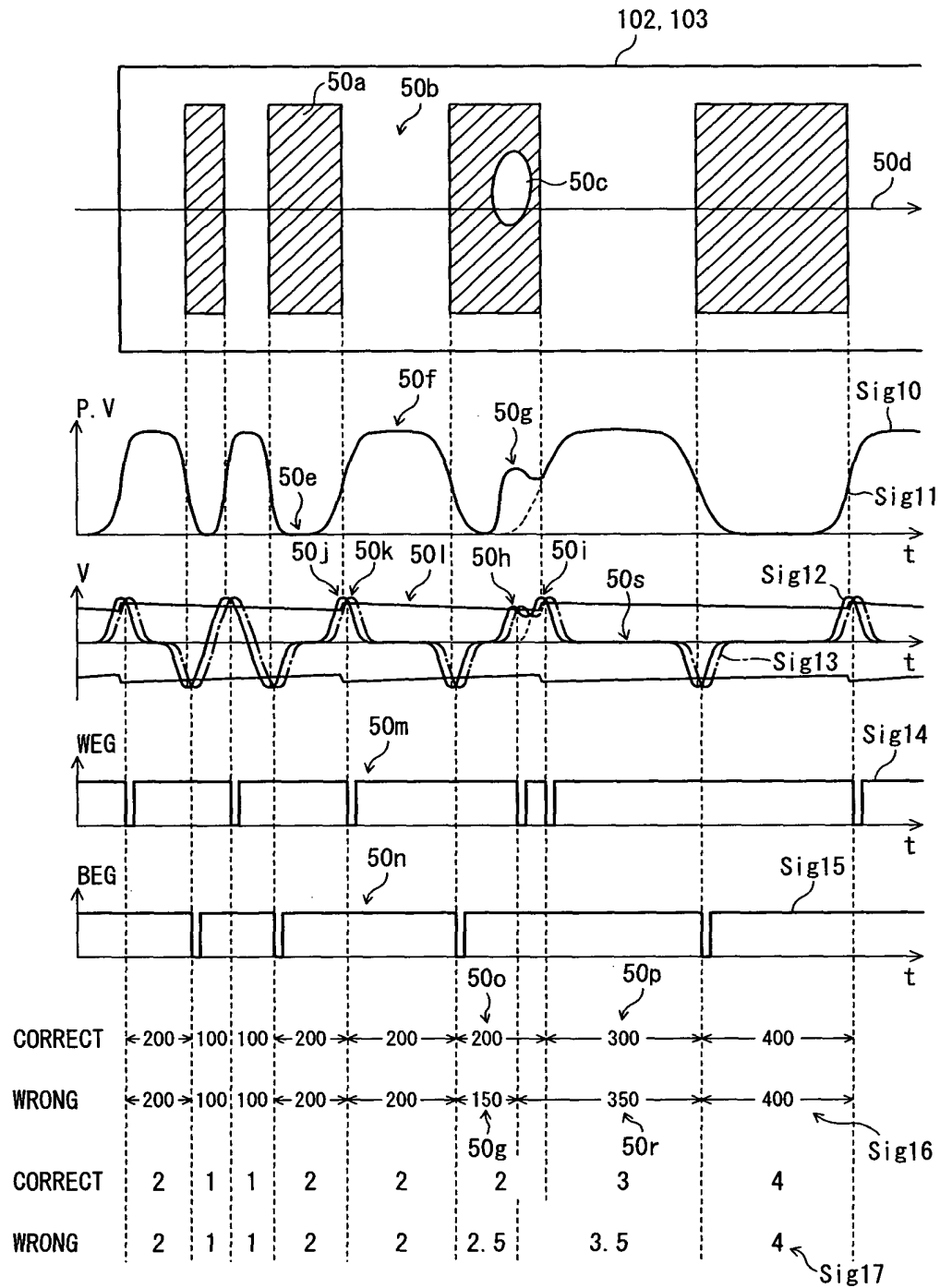


FIG. 61

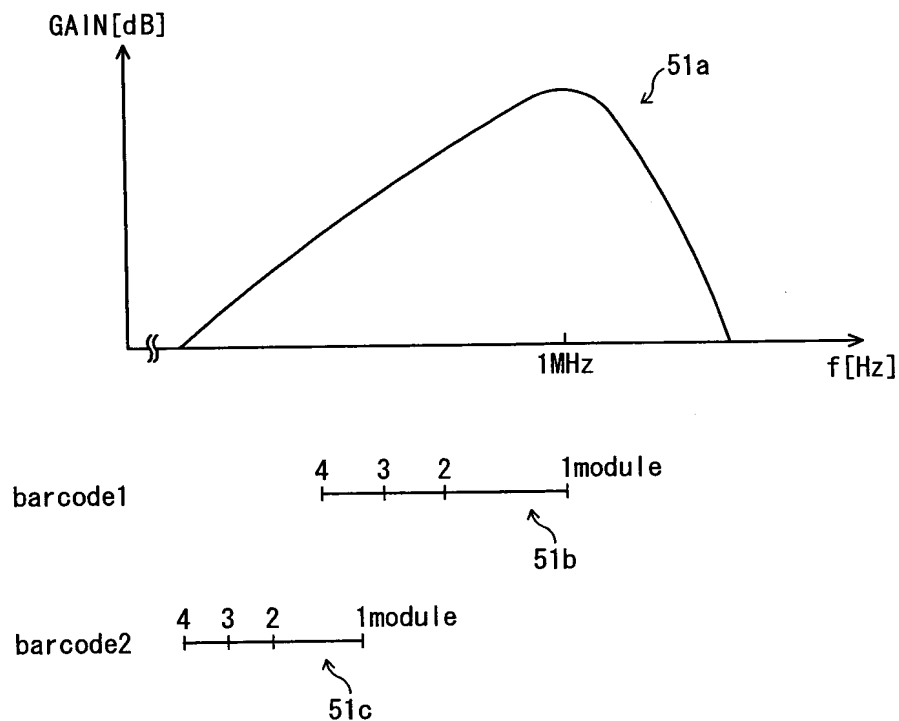


FIG. 62

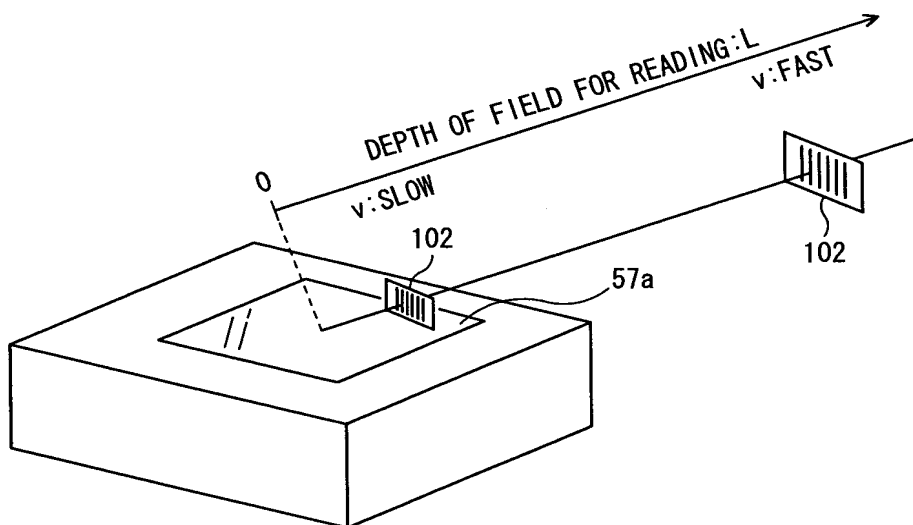
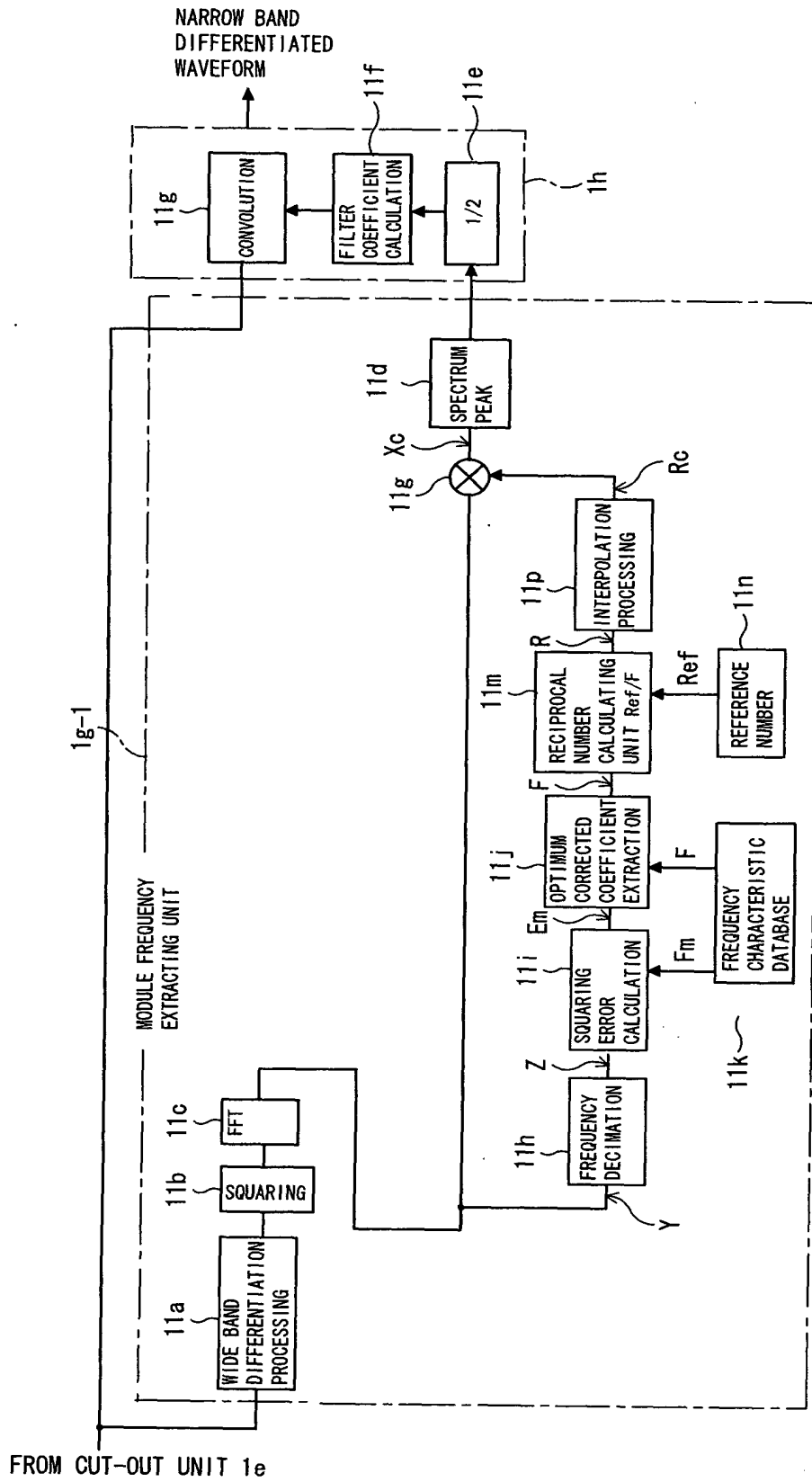


FIG. 63



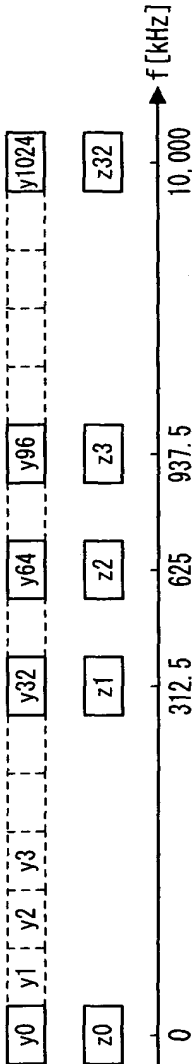
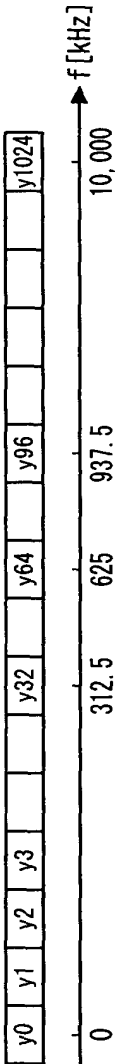
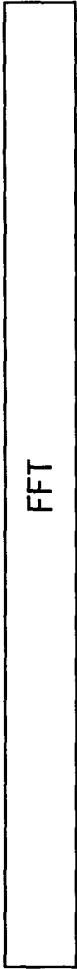
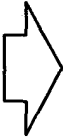
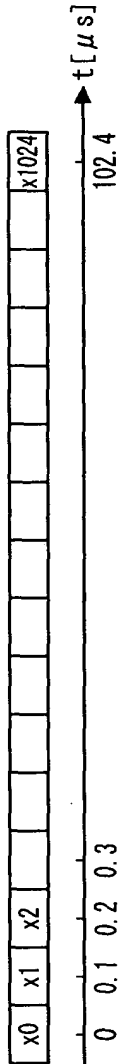


FIG. 64(a) INPUT DATA (TIME DOMAIN)
(1024 POINTS)

FIG. 64(b)

FIG. 64(c) RESULT OF FFT
(FREQUENCY DOMAIN)

FIG. 64(d) RESULT OF DECIMATION
(FREQUENCY DOMAIN)
(32-POINT DECIMATION)

FIG. 65

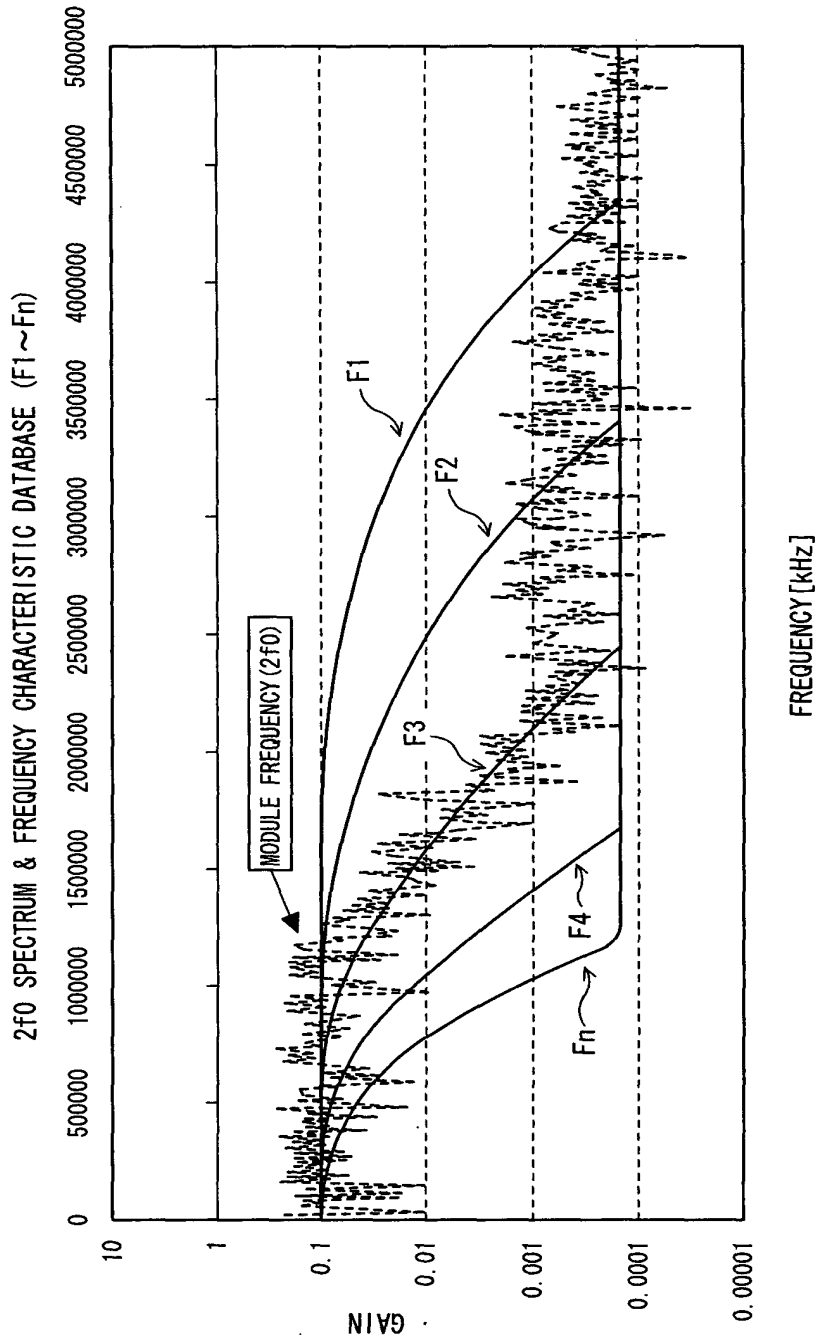


FIG. 66

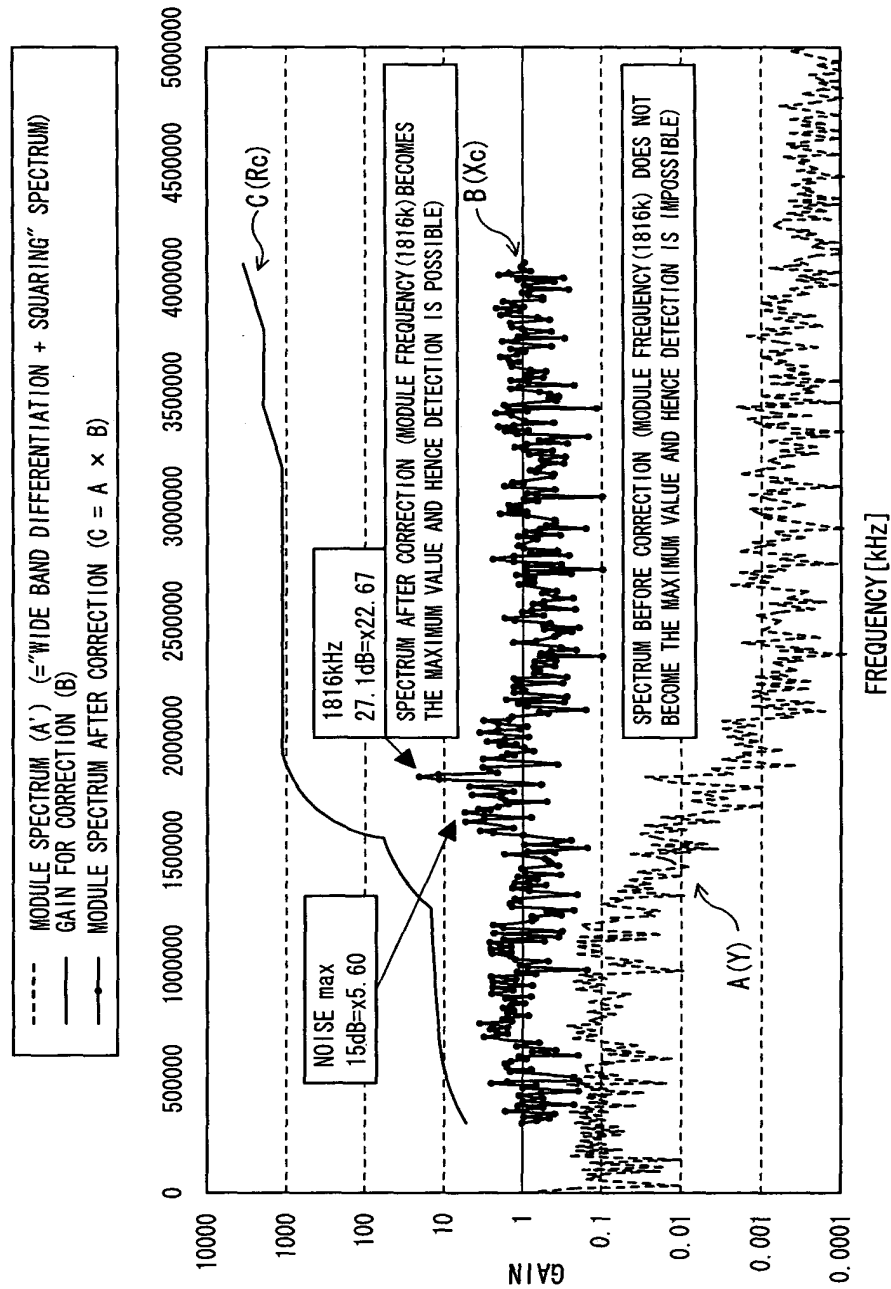


FIG. 67

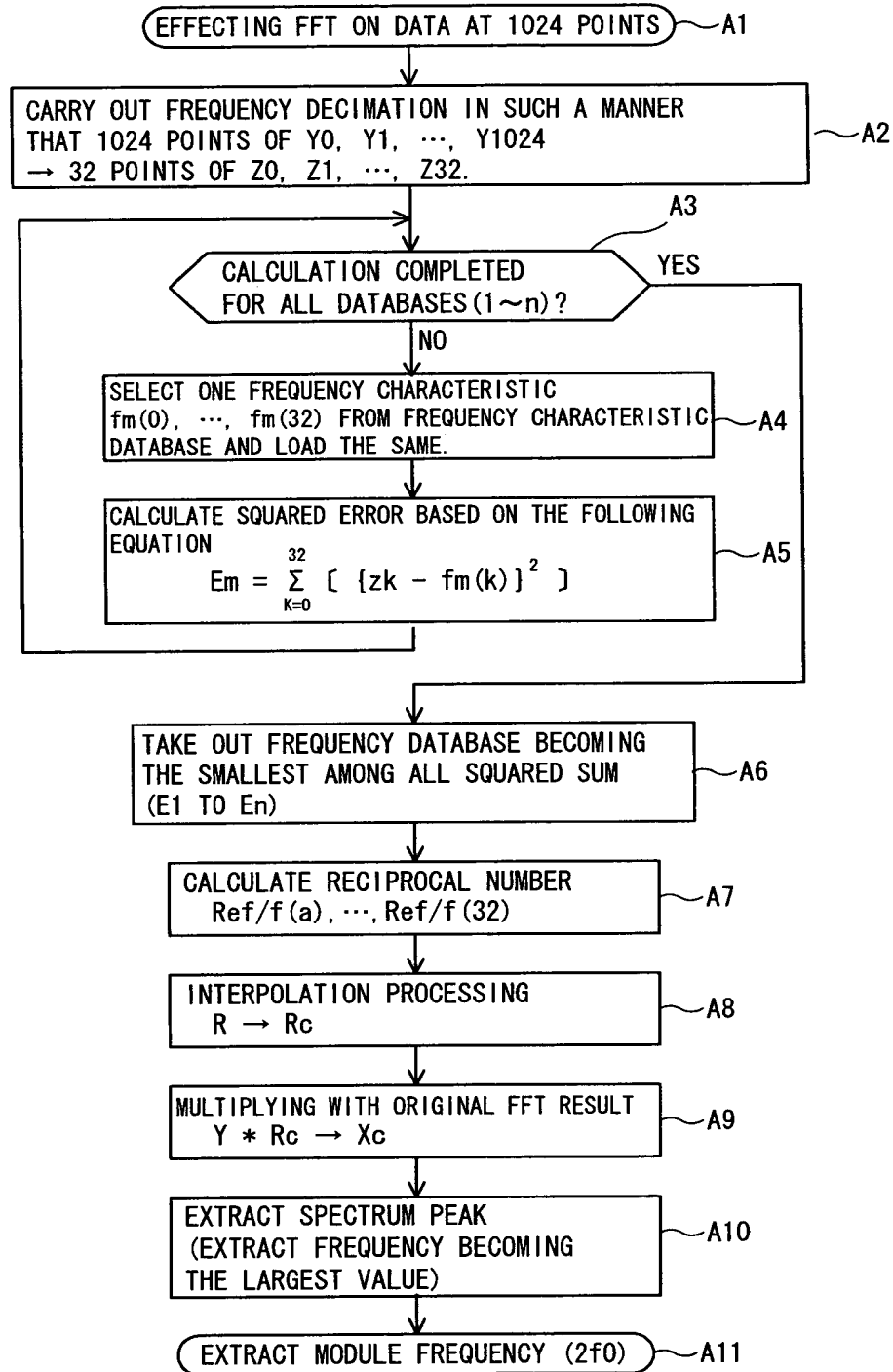


FIG. 68

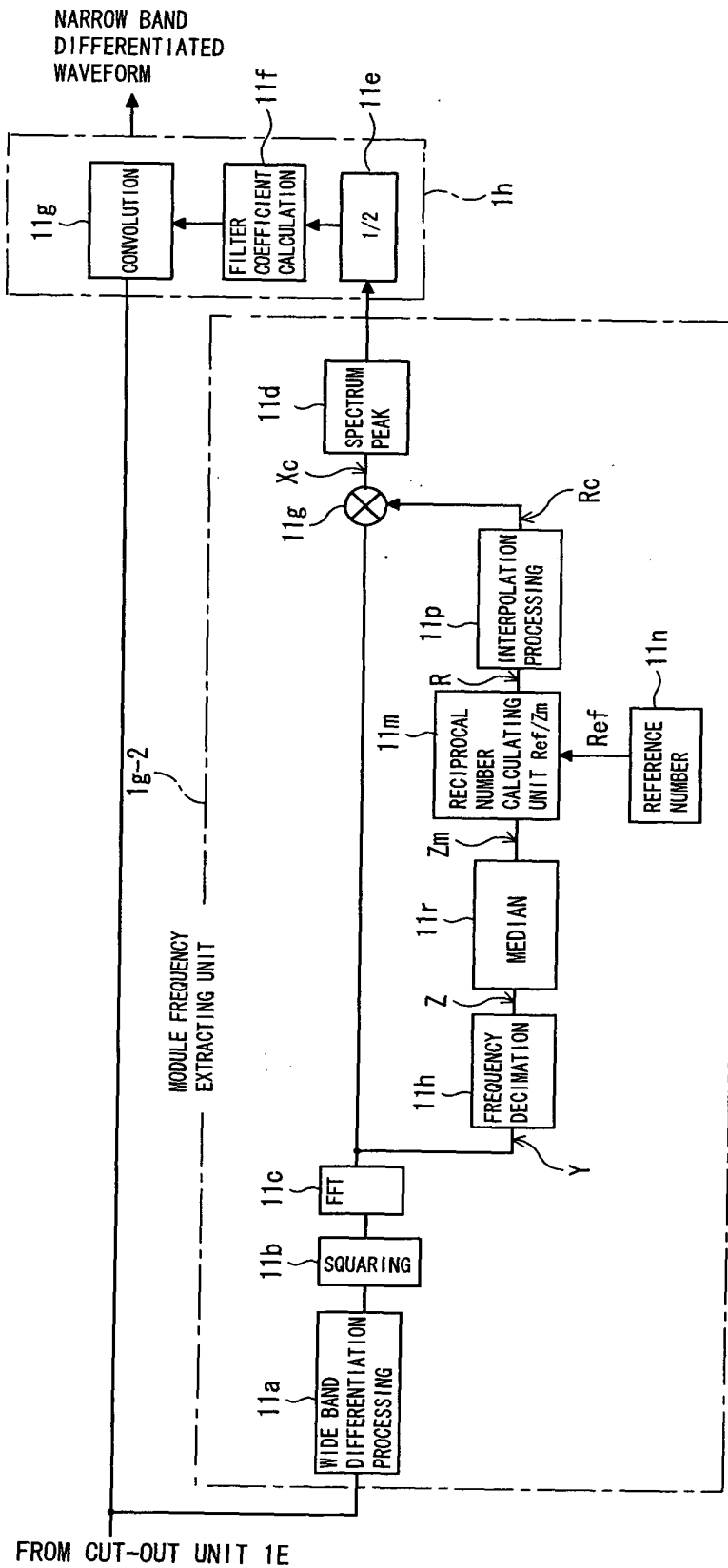


FIG. 69(a)

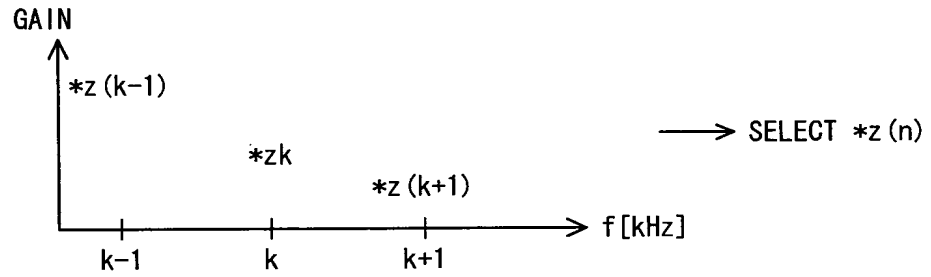


FIG. 69(b)

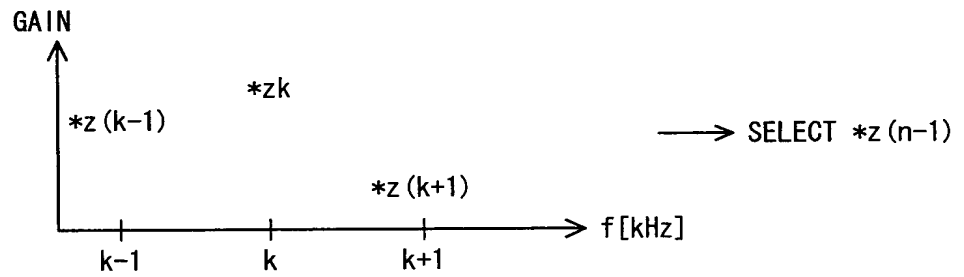
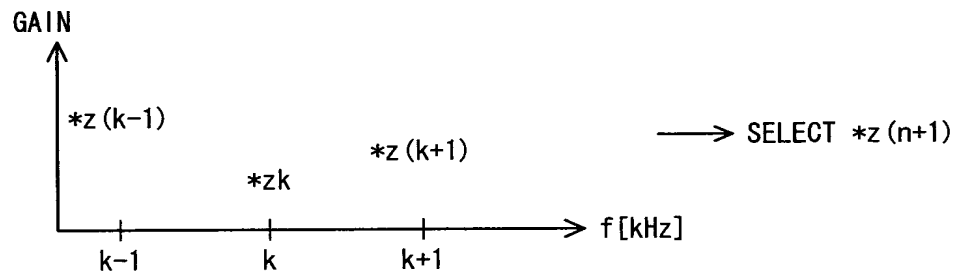


FIG. 69(c)



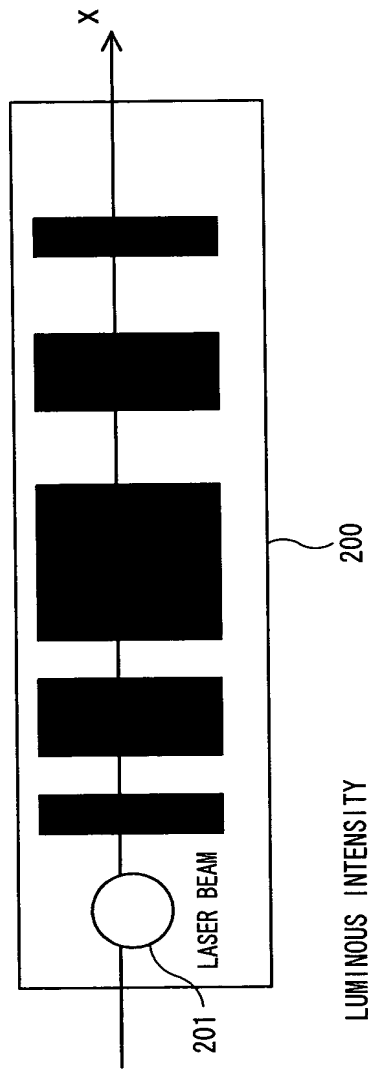


FIG. 70(a)

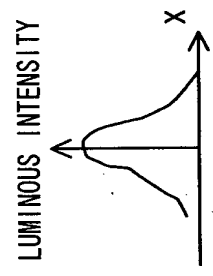


FIG. 70(b)

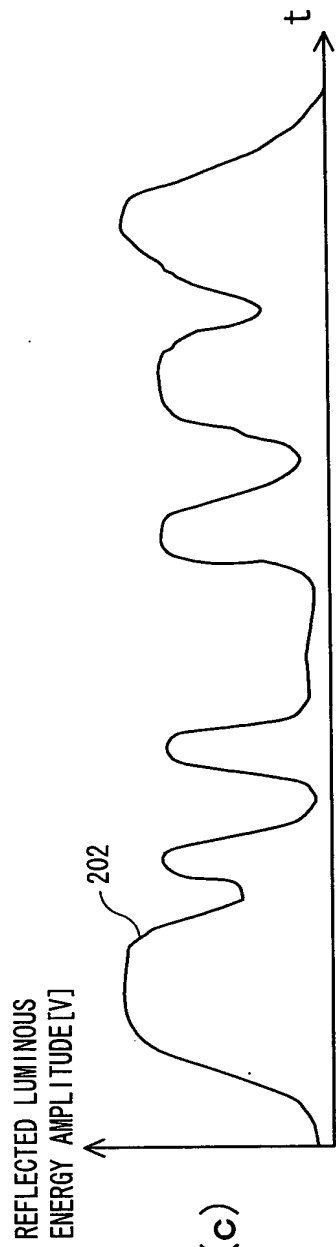


FIG. 70(c)

FIG. 71

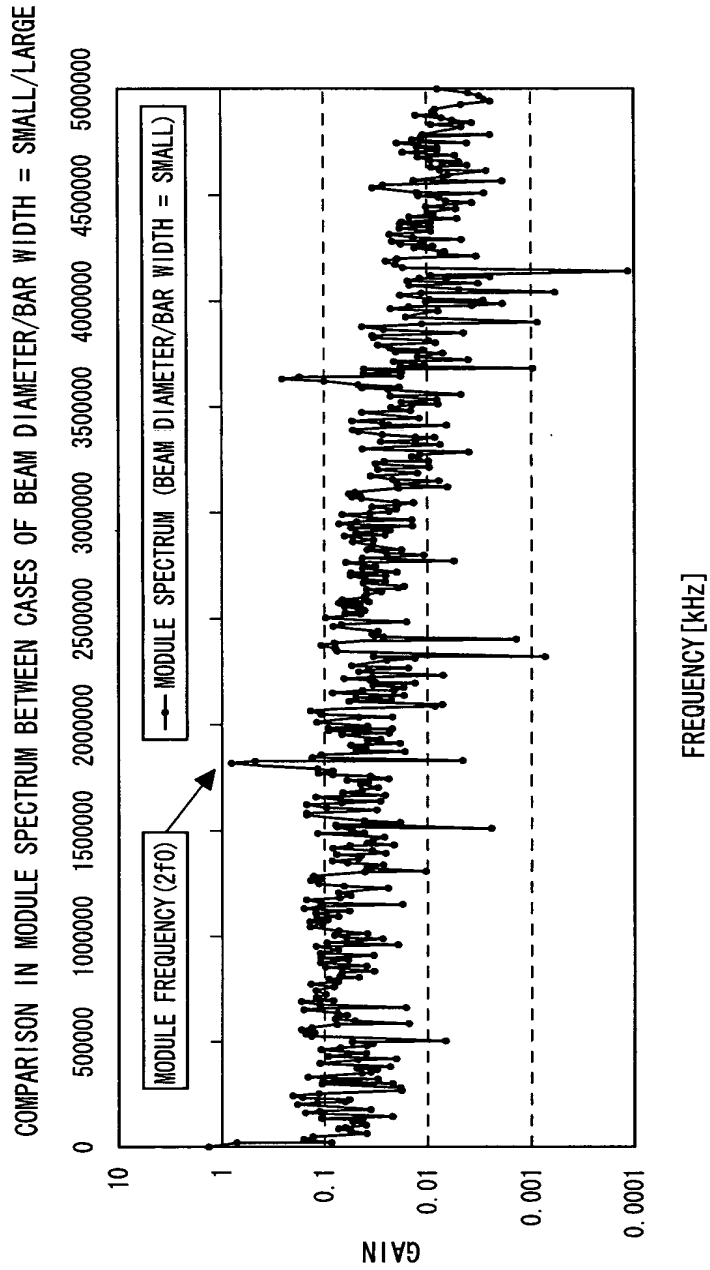


FIG. 72

